

کانسار مس چاه فرسخ شمالی؛ نمونه‌ای از کانسارهای سولفید توده‌ای آتشفسانزاد (VMS) در کمربند فلززایی

تروود-چاه‌شیرین

مائده خموشی^۱، سجاد مغفوری^{*۲}؛ حسینعلی تاج‌الدین^۱

۱-گروه زمین‌شناسی اقتصادی، دانشکده علوم پایه، دانشگاه تربیت مدرس، تهران، ایران

(پژوهشی)

پذیرش مقاله: ۱۴۰۱/۲/۲۷ تأیید نهایی مقاله: ۱۴۰۱/۱۰/۱۴

چکیده

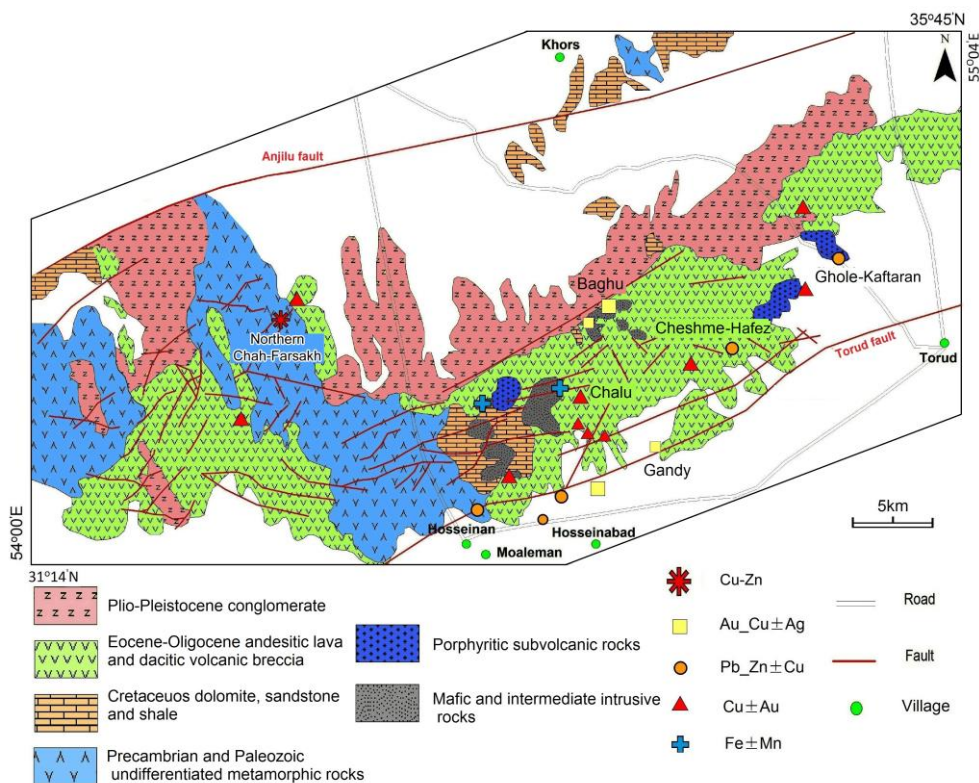
کانسار مس چاه فرسخ شمالی در توالی آتشفسانی-رسوبی نئوپرتوزوژنیک-کامبرین زیرین و در بخش جنوب‌غربی کمربند فلززایی تروود-چاه‌شیرین واقع شده است. کانه‌زایی به صورت یک افق سولفیدی در سنگ میزبان متاولکانیکی و به صورت محدودتر در سنگ‌های موسکوویت-کوارتز شیست، و واحد مرمری تشکیل شده است. کانه‌های هیپوژن در کانسار چاه فرسخ شمالی عبارتند از کالکوپیریت، پیریت، اسفالریت، تتراهریت-تنانتیت، مگنتیت، پیروتیت و بورنیت و کانه‌های سوپرژن شامل کالکوسیت، کوولیت، مالاکیت، آزوریت، کریزوکولا، هماتیت، لیمونیت و گوتیت هستند. کوارتز، کلسیت، اپیدوت، سرسیت و کلریت فراوان‌ترین کانه‌های باطله می‌باشند. براساس مطالعات صحرایی و میکروسکوپی سه رخساره کانسنگی توده‌ای، لایه‌ای و رگه-رگچه‌ای در این کانسار تشخیص داده شده است. براساس مطالعات میانبارهای سیال بر روی کوارتزهای رخساره کانسنگ رگه-رگچه‌ای، میانگین دمای همگن شدن سیالات ۳۵۵ درجه سانتی‌گراد و میانگین شوری ۱۲/۴۴ درصد وزنی نمک طعام محاسبه شده است. مطالعات زمین‌شناسی، محیط تکتونیکی پشت قوسی، رخساره‌های کانسنگی، کانی‌شناسی، ساخت و بافت، پارازنر کانیایی غنی از مس و دماسنجدی میانبارهای سیال حاکی از تشکیل کانسار چاه فرسخ شمالی در اثر فعالیت‌های برون‌دمی زیردریایی به صورت کانسارهای سولفید توده‌ای آتشفسانزاد (VMS) تیپ بشی (Besshi-type) می‌باشد.

واژه‌های کلیدی: تیپ بشی، چاه فرسخ شمالی، رخسارهای کانسنگی، سولفید توده‌ای آتشفسانزاد، کانه‌زایی مس.

میزبان آتشفشنایی تا نیمه عمیق با ترکیب آلکالن است. به عنوان مثال می‌توان به کانسارهای گندی (Fard et al, 2006) (Au-Ag-Pb-Zn)، ابوالحسنی (Shamanian et al, 2004) (Pb-Zn±Au-Ag)، Mehrabi and (Pb-Zn-Cu±Ag) (Pb-Zn-Cu±Ag، Ghasemi, 2012 Pb-Zn-Cu)، قله کفتران (\pm Au-Ag±Cu)، دارستان (Cu±Au)، پوسیده (Ag)، و باغو اشاره کرد (Niroomand et al, 2018) (شکل ۱ب). علاوه بر این کانسارها، انواع تیپ‌های دیگر کانساری مانند طلای مرتبط با توده نفوذی و طلای پلاسربی و فیروزه (طلای مس) در باغو، ذخایر اسکارن آهن در چالو، سرب-روی با میزبان کربناتی (MVT-type) در رشم، خانجار و آنارو نیز از این کمربند فلزیابی گزارش شده است (Shamanian et al, 2004; Niroomand et al, 2018; Talebzadeh et al, 2019) (شکل ۱ب). مطالعات پژوهشی جامع در رابطه با کانسار چاه فرسخ شمالی صورت نگرفته است، ولی حمامی‌پور (۱۳۹۶)، در طی ارائه گزارش اکتشافی، مطالعات زمین‌شناسی و کانه‌زایی مس را مورد مطالعه قرار داده است و رخداد کانه‌زایی مس در منطقه را به صورت همرونده با لایه‌بندی توالی آتشفشنایی-رسوبی معرفی کرده است. این مقاله ضمن معرفی کانسار مس چاه فرسخ شمالی به عنوان کانسار سولفید توده‌ای آتشفشنائزد تیپ بشی، به شناسایی ویژگی‌های رخساره‌های کانسنگی، ساخت و بافت و کانی‌شناسی همچنین به مطالعات میانبارهای سیال این کانسار نیز پرداخته است. با توجه به اینکه توالی آتشفشنایی-رسوبی پالئوزوئیک زیرین در کمربند فلزیابی ترود-چاه‌شیرین از گسترش قابل توجهی برخوردار است، لذا اطلاعات تحقیق حاضر می‌تواند به عنوان کلید و راهنمای اکتشافی در دیگر نقاط این کمربند با توالی آتشفشنایی-رسوبی مشابه از جهت اکتشاف ذخایر VMS مورد استفاده قرار گیرد.

مقدمه

کمربند فلزیابی ترود- چاه‌شیرین با امتداد شمال شرق-جنوب‌غرب، در قسمت شمالی زون ایران مرکزی قرار دارد (شکل ۱الف). مساحت تقریبی این کمربند ۳۰۰ کیلومتر مربع بوده و از نظر تکتونیکی، چینه‌شناسی و ماقمایی دارای تاریخ پیچیده‌ای است (Alavi, 1996). پی‌سنگ این کمربند از سنگ‌های دگرگون شده آمفیبوليٹ، شبیست و گنایس‌های پرکامبرین تشکیل شده است (Crawford, 1977). مطالعات زمین‌شناسی و نمونه‌برداری‌های صحرایی نشان از دگرگونی ناحیه‌ای تمامی سنگ‌های موجود در منطقه قبل از کرتاسه می‌باشد (به‌طوری که واحدهای سنگی کرتاسه بدون دگرگونی هستند) و این خود نشان از رخداد دگرگونی‌ها در طی فازهای کوه‌زایی‌های سیمیرین است (هوشمند زاده و همکاران، ۱۳۵۷). از دیگر واحدهای این کمربند فلزیابی می‌توان به سنگ‌های دولومیتی چرت‌دار به سن کامبرین، توالی آتشفشنایی-رسوبی به سن اردوویسین، سنگ‌آهک و گدازه تراکی‌آندزیتی (سازند نیور)، ماسه‌سنگ و شیل (سازند پادها)، دولومیت، سنگ‌آهک و گچ (سازند بهرام) و سنگ‌آهک دولومیتی به سن پرمین اشاره کرد (Hassanzadeh et al, 2002) (شکل ۱ب). در معرض تغییرشکل و دگرگونی درجه پایین در حد رخساره شبیست سبز قرار گرفته و توسط یک دگرشبیبی با کنگلومرا و سنگ‌آهک کرتاسه پوشیده شده است. جوانترین سنگ‌های بروزد یافته در کمربند فلزیابی ترود- چاه‌شیرین، که از گسترش قابل توجهی نیز برخوردار هستند، سنگ‌های ماقمایی ائوسن-الیگوسن می‌باشند (Amidi et al, 2006; Eshraghi and Jalali, 1984). مهم‌ترین کانسارها و ذخایر این کمربند فلزیابی شامل کانسارهای فلات گرانبهای تیپ اپی‌ترمال با سنگ



شکل ۱: الف: نقشه تقسیم‌بندی پهنه‌های ساختاری ایران برگرفته از آقاباتی (Aghanabati, 1998) و موقعیت منطقه AI: Alborz zone, CIGS: Central Iranian geological and structural transition zone, E: East Iranian ranges, K: Kopeh-Dagh, KT: Khazar-Talesh-Ziven structural zone, L: Lut Block, M: Makran, O: Ophiolite belts, P: Posht-e-Badam Block, SSZ: Sanandaj-Sirjan zone, T: Tabas Block, TM: Tertiary magmatic rocks, UD: Urumieh-Dokhtar magmatic arc, Y: Yazd Block, Z: Zabol area, Za: Zagros ranges. ب: نقشه زمین‌شناسی ساده کربنید فلزی ترود-چاه‌شیرین و پراکندگی تیپ‌های مختلف کانساری بر روی آن (براساس نقشه زمین‌شناسی ۱:۲۵۰,۰۰۰ ترود: هوشمندزاده، ۱۳۵۱ و Tale-Fazel et al, 2019).

میزان کانه‌زایی، تهیه و مورد مطالعه میکروسکوپی قرار گرفت. همچنین مطالعات کانه‌نگاری، کانی‌شناسی، ساخت و بافت بر روی ۲۴ عدد مقاطع نازک-صیقلی و ۵ عدد مقاطع صیقلی انجام شد. به دلیل عدم گسترش کانسار چاه‌فرسخ شمالی به صورت رخنمون صحرایی، اطلاعات زمین‌شناسی و کانه‌زایی به دست آمده بیشتر با کمک مطالعه بر روی مغزه‌های حفاری انجام شده است. در مرحله بعد، تعداد ۷ نمونه از رگه‌های سیلیسی حاوی کانه‌زایی در رخنمون‌های سطحی و گمانه‌های اکتشافی حفر شده برداشت گردید و ضمن تهیه مقاطع دو بر صیقل، برای انجام مطالعات پتروگرافی

منطقه مورد مطالعه

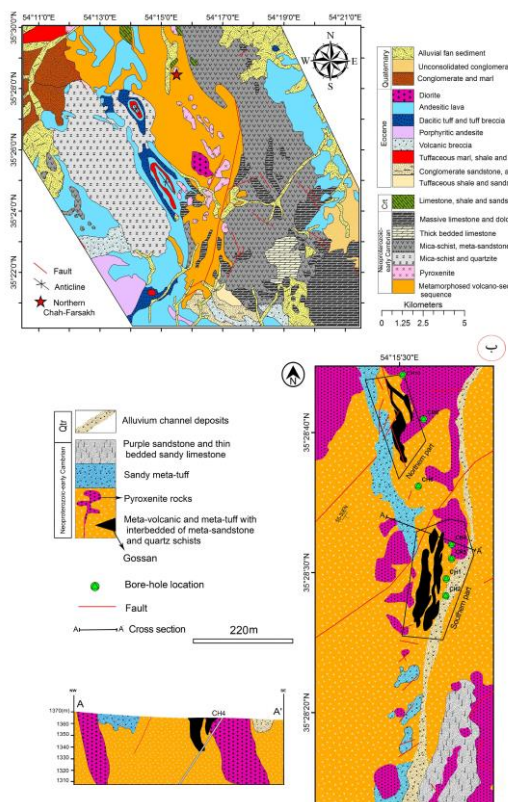
کانسار مس چاه فرسخ شمالی در ۷۵ کیلومتری جنوب دامغان در استان سمنان واقع شده است (شکل ۲ الف) و دارای مختصات جغرافیایی ۳۵°۲۸'۲۹"/ ۵۴°۱۵'۳۳" طول شرقی و ۳۵°۰۲'۰۰" عرض شمالی می‌باشد.

مواد و روش‌ها

در انجام این پژوهش، برای بررسی ویژگی‌های رخساره‌های کانه‌دار کانسار چاه‌فرسخ شمالی ۱۹ مقطع نازک و ۲۴ مقطع نازک-صیقل در طول گمانه‌های حفر شده از توالی آتشفسانی-رسوبی

در گیر دانشگاه تربیت مدرس انجام گرفته است. دقیق کار دستگاه در مرحله سرد و گرم کردن، ${}^{\circ}\text{C}$ ± 2 و محدوده حرارتی دستگاه بین 180°C تا $+600^{\circ}\text{C}$ می‌باشد. برای اندازه‌گیری‌های سرمایشی، دقیق دستگاه حدود $0/3^{\circ}\text{C} \pm 0.2$ برای ذوب CO_2 و ${}^{\circ}\text{C}$ برای ذوب یخ بوده است. همچنین، جهت انجام اندازه‌گیری‌های گرمایشی، دقیق کار دستگاه حدود $1^{\circ}\text{C} \pm 1$ برای نقطه بحرانی آب بوده است.

و میکروترمومتری سیالات در گیر مورد استفاده قرار گرفت. از بین نمونه‌هایی که از رخسارهای کانسنگی مختلف برداشت شده بودند فقط نمونه‌های برداشت شده از زون رگه-رگچه‌ای دارای سیالات در گیر درشت و قابل مطالعات میکروترمومتری بودند. مطالعات میکروسکوپی و پتروگرافی سیالات در گیر با استفاده از میکروسکوپ Leitz توسط عدسی شبیه LWD80X در آزمایشگاه مطالعات سیالات



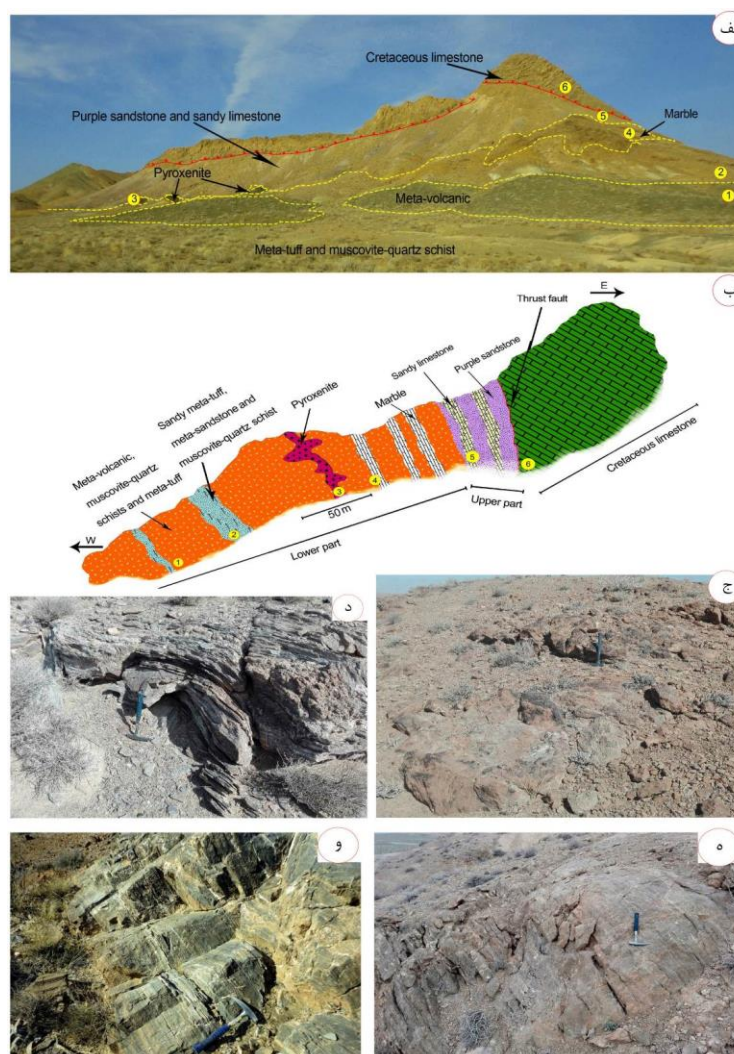
شکل ۲: الف: نقشه زمین‌شناسی ساده شده ۱:۱۰۰,۰۰۰ کلاته‌رسم و موقعیت کانسار چاه‌فرسخ شمالی در توالی آتش‌شانی-رسوبی دگرگون شده نوپرتوزوئیک-کامبرین زیرین (با تغییرات از جعفریان، ۱۳۸۰)، ب: نقشه زمین‌شناسی منطقه معدنی کانسار چاه‌فرسخ شمالی و جایگاه چینهای کانه‌زایی مس در سنگ‌های متالکانیکی، متاتوف و سنگ‌های شیستی (با تغییرات از حمامی‌پور، ۱۳۹۶).

زمین‌شناسی ۱:۱۰۰,۰۰۰ کلاته‌رسم (جعفریان، ۱۳۸۰) قرار دارد. مطالعات سن سنجی که (Shafaii Moghadam, 2015) بر روی سنگ‌های منطقه چاه‌جام در شمال شرقی منطقه چاه‌فرسخ انجام داده است سن معادل نوپرتوزوئیک-

بحث و نتایج
زمین‌شناسی منطقه مورد مطالعه در کمربند فلزیابی ترود-چاه‌شیرین و در نقشه چهارگوش ۱:۲۵۰۰۰ ترود (هوشمند زاده و همکاران، ۱۳۵۱) و نقشه

نئوپروتروزوئیک-کامبرین زیرین بر حسب جایگاه چینه‌شناسی و تغییرات ترکیب سنگ‌شناسی از پایین به بالا به دو بخش کلی قابل تقسیم می‌باشد (شکل ۳ الف و ب). بخش زیرین (Lower part) از سنگ‌های آتشفسانی-رسوبی و بخش بالایی (Upper part) از سنگ‌های رسوبی تشکیل شده است (شکل ۳ الف و ب).

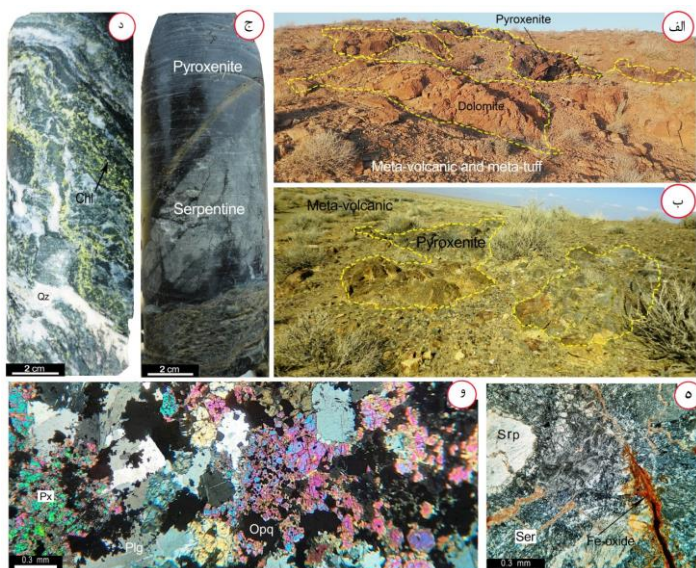
کامبرین زیرین برای واحدهای سنگی منطقه در نظر گرفته است. قدیمی‌ترین سنگ‌های رخمنون یافته در بخش غربی کمربند فلزایی ترود-چاه‌سیرین در منطقه چاه‌فرسخ شمالی رخمنون دارند. این واحدهای سنگی به طور عمده متعلق به زمان نئوپروتروزوئیک-کامبرین زیرین می‌باشند. در محدوده کانسار چاه‌فرسخ شمالی توالی سنگی



شکل ۳: الف: نمایی از رخمنون توالی آتشفسانی-رسوبی میزبان کانه‌زایی کانسار چاه‌فرسخ شمالی (دید به سمت شرق)، ب: مقطع شماتیک از واحدهای سنگی بخش‌های زیرین و بالایی توالی آتشفسانی-رسوبی میزبان کانه‌زایی در منطقه چاه‌فرسخ شمالی و انطباق واحدهای چینه‌ای با شکل الف، ج: تصویر رخمنون از واحد مرمر در منطقه معدنی چاه‌فرسخ شمالی، د: نمایی از رخمنون واحد موسکوویت-کوارتزیتیست که بر اثر تنش‌های تکتونیکی چین خورده است. ه: نمایی از رخمنون واحد ماسه‌سنگ ارغوانی و: واحد آهک ماسه‌ای نازک لایه در بخش انتهایی واحد آتشفسانی-رسوبی نئوپروتروزوئیک-کامبرین زیرین که به صورت میان لایه در بین ماسه سنگ‌های ارغوانی قرار دارد.

(شکل ۵ الف). واحد متاولکانیک به عنوان یکی از واحدهای اصلی میزبان کانه‌زایی کانسار چاه فرسخ شمالی محسوب می‌شود و در محدوده دارای بیشترین گسترش می‌باشد (شکل ۳). ضخامت میانگین این واحد تقریباً ۴۰۰ الی ۵۰۰ متر است. متاولکانیکها دارای رنگ رخنمون سبز لجنی تا سبز متماهیل به خاکستری دارند (شکل ۴ الف و ب) و ارتباط این سنگ‌ها با سنگ‌های زیرین به دلیل پوشیده بودن مشخص نیست ولی ارتباط آن با سنگ‌های کمربالا به صورت تغییرات تدریجی است (شکل ۳).

واحدهای سنگی بخش زیرین شامل متاولکانیک (طیف سنگ‌های بازالتی تا آندزیتی)، موسکوویت-کوارتزشیست، متاتوف، ماسه‌سنگ دگرگون شده، پیروکسینیت‌های دگرگون شده (شکل ۴ ج و ۵)، متاتوف ماسه‌ای و مرمر می‌باشد (شکل‌های ۳ و ۴). منشا گدازه‌های مافیک و توده‌های پیروکسینیتی فعالیت ماقمایسم حاصل از کشش و بالا آمدن ماقمای مافیک می‌باشد (Shafaii Moghadam et al., 2015; Ghorbani Derakhshi et al., 2019). افق کانه‌زایی مس در کانسار چاه فرسخ شمالی در واحدهای سنگی بخش زیرین توالی نئوپروتروزوئیک-کامبرین زیرین تشکیل شده است.



شکل ۴: الف و ب: نمایی از رخنمون توده پیروکسینیتی و میان لایه دولومیتی در واحدهای ولکانیکی منطقه چاه فرسخ شمالی، ج: نمونه دستی از واحد پیروکسینیتی که بخشی از آن سالم مانده و بخش دیگر سرپانتینی شده است، د: نمونه دستی از واحد متاولکانیکی که تحت تاثیر دگرگونی در حد رخساره شیست سبز به کانی‌های کلریت و کوارتز تبدیل شده است، ه: تصاویر میکروسکوپی از واحد پیروکسینیتی که به سرپانتین تبدیل شده و زمینه توسط رگچه‌های سرسیتی و اکسیدهای آهن قطع شده است. و: تصویر میکروسکوپی از کانی‌های پلاژیوکلازها همراه با پیروکسین در واحد متاولکانیک. (Plg: پلاژیوکلاز، Qz: کوارتز، Chl: کلریت، Px: پیروکسین، Opq: کانی اپک، Srp: سرسیت، Fe-oxide: اکسیدهای آهن، Srp: سرپانتین).

دهنده شروع فعالیت آتشفسانی، شدت یافتن ولکانیسم و در نهایت رو به افول نهادن آن باشد. توده‌های پیروکسینیتی که به صورت نفوذی در

در بخش‌هایی از منطقه، ظهرور و افول واحد متاولکانیک، به صورت متناوب با شیستهای واحد مرمری دیده می‌شود، که این امر می‌تواند نشان

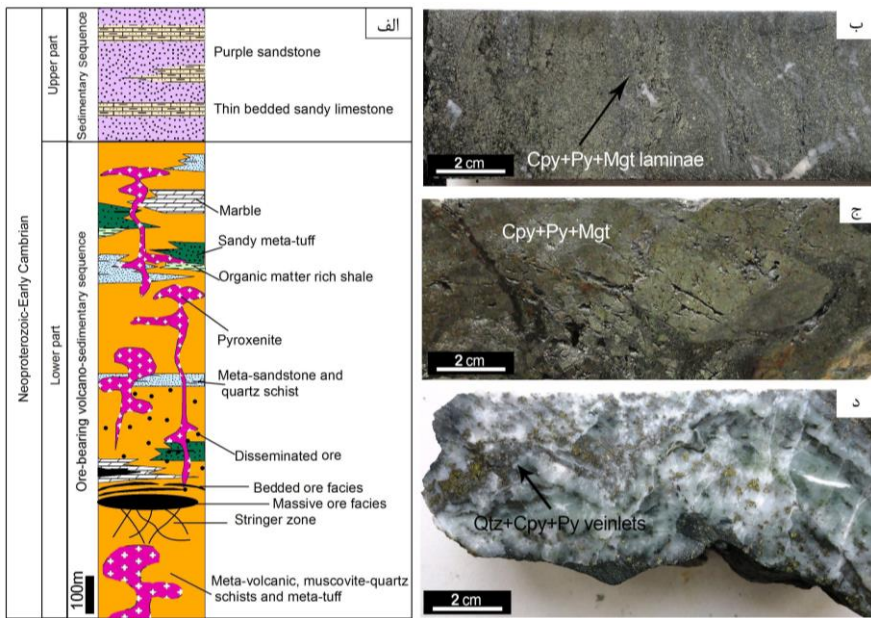
برآورده است که یکی از ویژگی‌های عمدۀ کانسارهای سولفید توده‌ای با سنگ درونگیر آتشفسانی-رسوبی می‌باشد (مغفوری، ۱۳۹۱). کانه‌زایی کانسار مس چاهفرسخ شمالی را می‌توان براساس نوع و شکل آن، بافت ماده معدنی و عیار کانسار به سه رخساره کانسنگی رگه-رگچه‌ای، لایه‌ای و توده‌ای تقسیم‌بندی نمود (شکل ۵). رخساره کانسنگی لایه‌ای (Bedded ore facies): این بخش از کانسار چاهفرسخ شمالی دارای ضخامت کمتری نسبت به رخساره کانسنگ توده‌ای بوده و شامل تنابوی از لایه‌های متعدد سولفیدی می‌باشد که توسط لایه‌های ترکیبات سنگ میزان می‌باشد که دلیل کاهش میزان کانه‌های هیدروترمالی سولفیدی نسبت به کانی‌های تشکیل دهنده سنگ میزان کانه‌زایی می‌باشد (Monecke et al, 2006; Barrie et al, 2007). این رخساره کانسنگی عمدتاً در واحد موسکوویت-کوارتز شیست و به صورت محدود در سنگ‌های متاولکانیک تشکیل شده است. در واحد موسکوویت-کوارتز شیست، لایه‌های غنی از سولفید به طور متناوب در همراهی با لایه‌های غنی از سیلیس قرار دارند (شکل ۶).

رخساره کانسنگی توده‌ای (Massive ore facies): این رخساره در مرکز کانسار چاهفرسخ شمالی، مهم‌ترین بخش کانسار یعنی قسمت ضخیم و پرعيار آن را تشکیل داده و به طور عمدۀ دارای کانه‌زایی سولفید توده‌ای و برشی با ماهیت ناهمگون است (شکل ۷ الف و ب). این رخساره کانسنگی در اغلب کانسارهای سولفید توده‌ای آتشفسانزاد مشاهده می‌گردد (Solomon et al, 2008).

داخل واحدهای آتشفسانی- رسوبی نئوپرتوزوئیک-کامبرین زیرین نفوذ کرده است، مشابه با تمامی واحدهای سنگی منطقه دچار دگرگونی ناحیه‌ای شده و در بعضی بخش‌ها به سرپانتین و تالک تبدیل شده است (شکل ۴). بخش بالایی توالی آتشفسانی-رسوبی نئوپرتوزوئیک-کامبرین زیرین در منطقه چاهفرسخ شمالی به طور کلی از سنگ‌های رسوبی آواری و کربناتی تشکیل شده است (شکل ۳ الف و ب). نکته قابل توجه در این بخش از توالی نئوپرتوزوئیک-کامبرین زیرین، عدم وجود سنگ‌های آتشفسانی است. بخش بالایی به طور عمدۀ از ماسه‌سنگ‌های ارغوانی و آهک ماسه‌ای نازک لایه تشکیل شده است (شکل ۳ و ۴).

کانه‌زایی و رخساره‌های کانسنگی

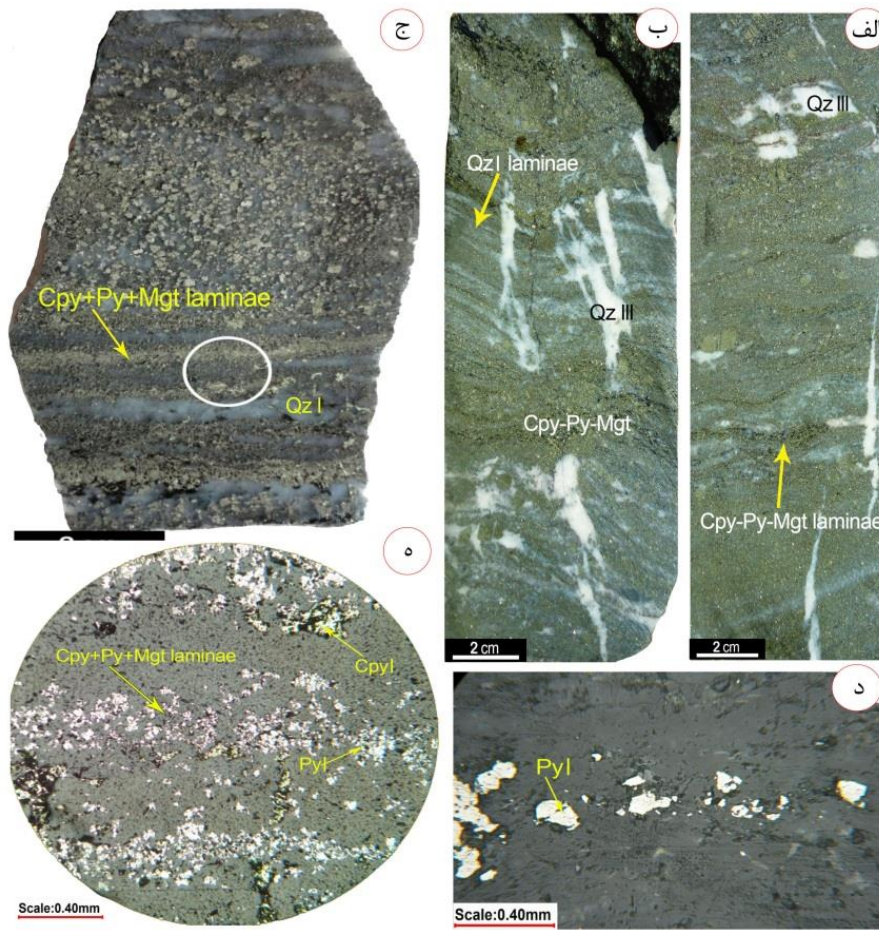
کانه‌زایی در کانسار چاهفرسخ شمالی در سطح زمین با رخداد اکسیدهای مس به صورت آزوریت، ملاکیت و کریزوکولا در داخل سنگ‌های متاولکانیک و موسکوویت-کوارتزشیست قابل مشاهده است. کانه‌زایی در این کانسار به دو بخش جنوبی و شمالی قابل تقسیم است. کانه‌زایی مس در این کانسار در یک افق چینه‌ای و در داخل واحدهای سنگی متاولکانیک همچنین میان لایه‌های موسکوویت-کوارتزشیست و آهک به صورت عدسی شکل تا صفحه‌ای کشیده تشکیل شده است (شکل ۵). در کانسار چاهفرسخ شمالی تعداد ۷ گمانه در بخش‌های شمالی و جنوبی کانسار به عمق‌های ۷۰ تا ۱۷۰ متر (مجموع ۷۹۱ متر) حفاری گردیده است و نشان می‌دهد که گسترش طولی افق کانه‌دار کانسار بسیار بیشتر از ضخامت آن است به طوری که طول آن بیش از ۷۰۰ متر و ضخامت بخش توده‌ای آن در حدود ۱۰ الی ۲۵ متر



شکل ۵: الف: ستون چینه‌شناسی کانسار چاه فرسخ شمالی که براساس تلفیق مطالعه مغزه‌های حفاری و پیمایش مقاطع مختلف زمین‌شناسی در توالی آتشفسانی-رسوبی نئوپروتزوژنیک-کامبرین زیرین، رسم گردیده است ب: نمونه دستی از رخساره کانسنگی لایه‌ای غنی از پیریت، کالکوپیریت و مگنتیت، ج: رخساره کانسنگی توده‌ای غنی از پیریت، کالکوپیریت و مگنتیت، د: نمونه دستی از بخش رگه-رگچه‌ای حاوی رگه سیلیسی غنی از پیریت و کالکوپیریت (Qz: کوارتز، Py: پیریت، Cpy: کالکوپیریت، Mgt: مگنتیت).

پیریت، کالکوپیریت و مگنتیت است که رگچه‌های ظریف در اطراف رگه‌های اصلی گسترش یافته‌اند (شکل ۸ الف و ب). این رخساره در زیر رخساره کانسنگ توده‌ای و به شکل شبکه‌ای از رگه و رگچه‌های سیلیسی-سولفیدی مشاهده می‌شود که لایه‌بندی سنگ میزان را قطع کرده است. گسترش این رخساره در واحد متاولکانیکی بیشتر از واحد موسکوویت-کوارتز شیستی است. فراوانی سولفیدهای آن کمتر از ۱ تا ۵ درصد می‌باشد (شکل ۸ ج و د). اغلب این شبکه رگه-رگچه‌ای در بخش‌های برشی شده و شکستگی‌های سنگ میزان به صورت نامنظم تشکیل شده‌اند. در بخش‌هایی که رگه‌های مذکور جانشین سولفیدهای قبلی گردیده‌اند و یا در محل تقاطع رگه‌ها، نوعی بهم خوردگی، تبلور سولفیدها و تا حدی تشکیل بافت توده‌ای را شاهد هستیم (شکل ۸ ب).

در این تیپ کانسارها درصد حجمی سولفیدهای تشکیل دهنده ۱۵ تا ۵۰ درصد می‌باشد. این رخساره کانسنگی دارای سنگ میزان متاولکانیکی و موسکوویت-کوارتز شیست می‌باشد. کانی‌های اصلی این رخساره شامل پیریت، کالکوپیریت، اسفالریت، پیروتیت، تتراهریت-تنانتیت و مگنتیت می‌باشد بهطوری که پدیده جانشینی شدن (مانند جانشینی کالکوپیریت و مگنتیت به جای پیریت)، سیلیسی شدن و سولفیدی شدن از ویژگی‌های شاخص این رخساره است (شکل ۷ ب و ج). به دلیل فراوانی میزان کالکوپیریت، اسفالریت و مگنتیت، عیار مس، روی و آهن در این رخساره، بیشترین میزان خود را دارد است (شکل ۷ و و). رخساره رگه-رگچه‌ای (Stringer zone): این رخساره در کانسار چاه فرسخ شمالی دارای گسترش محدود بوده و بهطور عمده از رگه-رگچه‌های سیلیسی تشکیل شده است که دارای کانی‌های

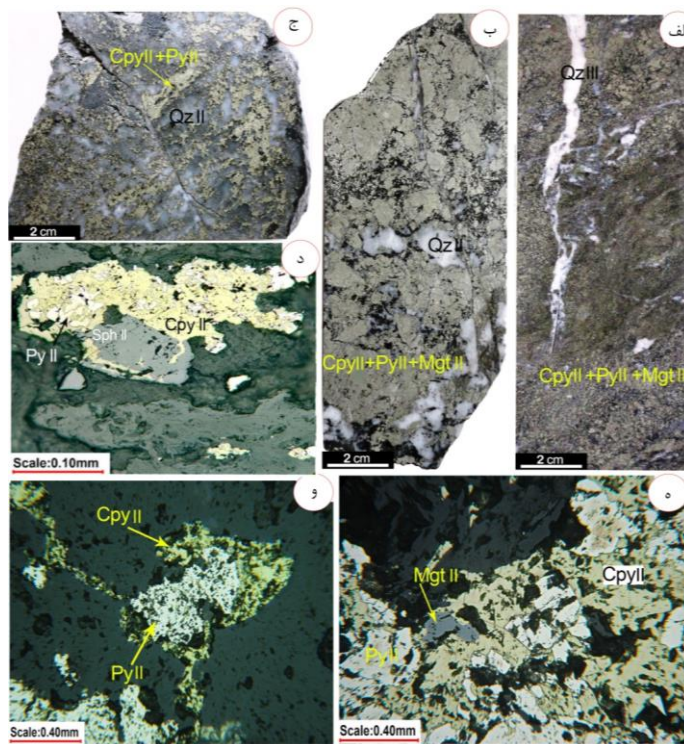


شکل ۶: الف و ب: نمونه‌های دستی از رخساره کانسنگی لایه‌ای غنی از پیریت، کالکوپیریت و مگنتیت. ج: نمونه دستی از رخساره کانسنگی لایه‌ای غنی از پیریت، کالکوپیریت د و د: تصویر میکروسکوپی از رخساره کانسنگی لایه‌ای که تناوب سولفیدها و سنگ میزبان را نشان می‌دهد (Qz: کوارتز، Py: پیریت، Cpy: کالکوپیریت، Mgt: مگنتیت).

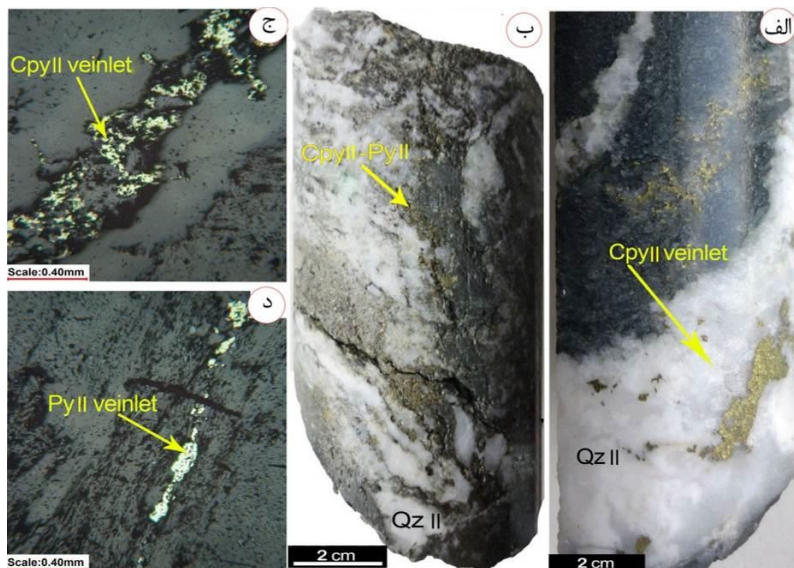
متفاوت بلورین به دو نوع (Py Ia, Py Ib) قابل دسته Py بندی هستند. پیریت‌های نسل اول نوع اول (Ia)، از نوع فرامبوئی‌دال هستند و عمدتاً در رخساره کانسنگ سولفیدی لایه‌ای به صورت دانه پراکنده تشکیل شده است (شکل ۹الف، شکل ۶). بافت دانه‌پراکنده در بخش‌هایی از رخساره کانسنگ لایه‌ای که فراوانی سولفیدها نسبتاً کم می‌باشد، قابل مشاهده است (شکل ۹الف، شکل ۶). تراکم بالای سولفیدهای دانه پراکنده غالباً در بخش‌های نزدیک به رخساره کانسنگ لایه‌ای دیده می‌شوند که بافت لایه‌ای به این سولفیدها داده است (شکل ۹ب، شکل ۶).

کانی‌شناسی، ساخت و بافت

در کانسار چاه‌فرسخ شمالی کانه‌های پیریت، کالکوپیریت، اسفالریت، پیروتیت، مگنتیت و بورنیت (شکل ۹ و ۱۰) دارای بیشترین فراوانی هستند. کانی سولفوسالتی موجود نیز تتراهدریت-تیاناتیت می‌باشند و به مقدار کم در رخساره کانسنگ توده‌ای کوولیت و کالکوسیت نیز دیده می‌شود. براساس مطالعات کانه‌نگاری، کانه‌های پیریت و کالکوپیریت به صورت سه نسل مختلف دیده می‌شوند که پیریت شامل (Py I (Py Ia, Py Ib), Py II, Py III) و با بافت‌های گوناگون در رخساره‌های کانسنگی مختلف مشاهده می‌شوند. پیریت نسل اول (Py I)، ریزبلور بوده و براساس شکل‌های



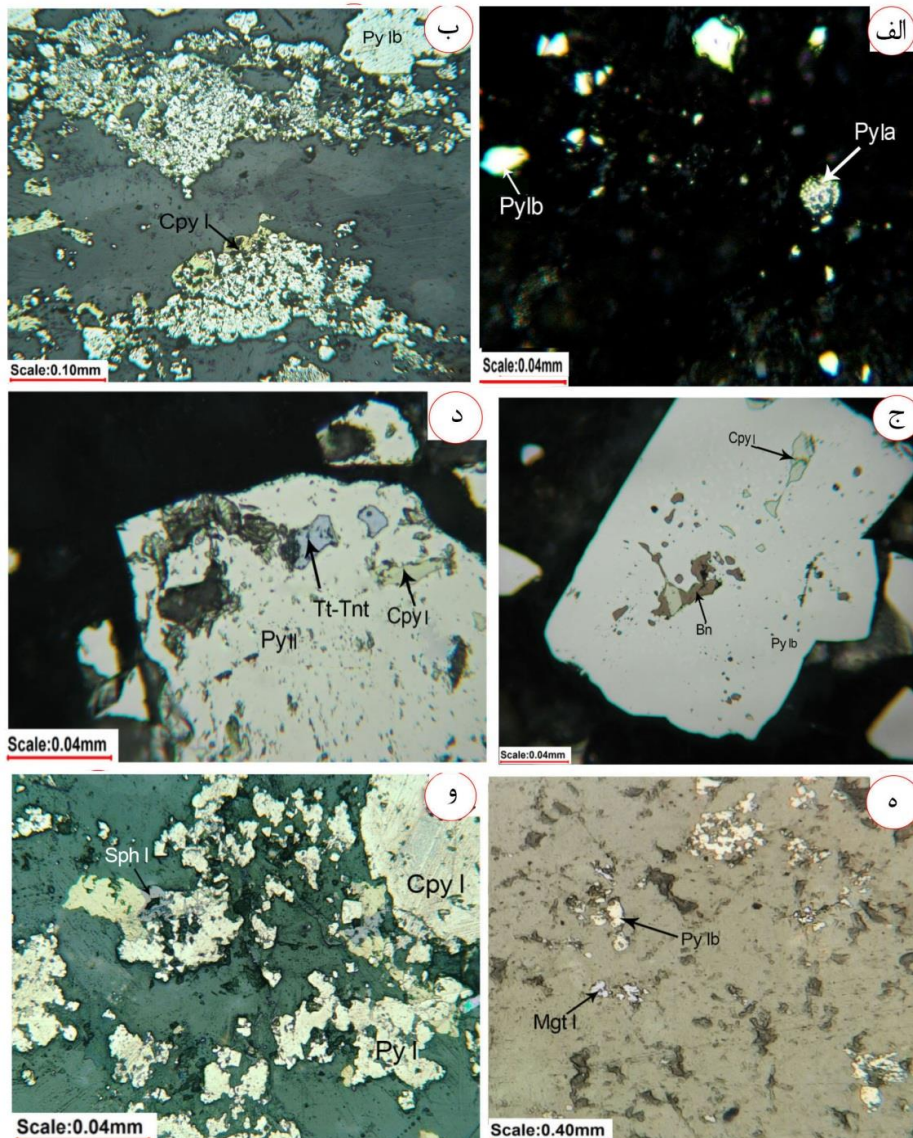
شکل ۷: الف و ب: نمونه‌های دستی از رخساره کانسنگی توده‌ای غنی از پیریت، کالکوپیریت و مگنتیت، ج: نمونه دستی از رخساره توده‌ای شامل کوارتز، پیریت و کالکوپیریت، د: تصویر از حضور پیریت، کالکوپیریت و اسفالریت در رخساره کانسنگ توده‌ای، ه: تصویر میکروسکوپی از رخساره کانسنگی توده‌ای که جانشینی پیریت توسط کالکوپیریت و مگنتیت در آن مشهود است، و: تصویر میکروسکوپی از رخساره کانسنگی توده‌ای که جانشینی پیریت توسط کالکوپیریت را نشان می‌دهد (Qz: کوارتز، Py: پیریت، Cpy: کالکوپیریت، Mgt: مگنتیت Cal: کلسیت، Sph: اسفالریت).



شکل ۸: الف و ب: نمونه‌های دستی از رخساره کانسنگی رگه-رگچه‌ای سیلیسی حاوی کانی‌های پیریت و کالکوپیریت، ج و د: تصاویر میکروسکوپی از رخساره کانسنگی رگه-رگچه‌ای (Qz: کوارتز، Py: پیریت، Cpy: کالکوپیریت).

ریزبلور می‌باشند (شکل ۵۹). نسل دوم از کانی مگنتیت (Mgt II) به صورت درشت بلور و اغلب در رخساره کانسنگ توده‌ای و زون تغذیه‌کننده گسترش دارد و معمولاً جانشین پیریت‌ها و کالکوپیریت‌های نسل اول شده است (شکل ۱۰ الف، شکل ۷). بورنیت و تتراهریت-تنانتیت نیز در مقاطع میکروسکوپی به مقدار خیلی کم دیده می‌شود که دارای بافت جانشینی جزیره‌ای هستند. (شکل ۹ ج و د). کانه‌های سولفیدی که کانه‌های سولفوسالتی را همراهی می‌کنند پیریت و کالکوپیریت‌های نسل دو هستند (شکل ۵۹). کالکوپیریت و کولولیت از کانی‌های مهم سولفیدی می‌باشند که در شرایط احیایی و در پهنه سوپرژن تشکیل شده‌اند و در مقاطع میکروسکوپی به رنگ آبی، با فراوانی کم، و با بافت جانشینی دیده می‌شوند. همچنین، این کانی‌ها به همراه کالکوپیریت در برخی مقاطع، در امتداد درز و شکاف‌ها و شکستگی‌ها تشکیل شده‌اند (شکل ۱۰ د و ۵). با افزایش عمق و نزدیک شدن به بخش‌های پرعيارتر اندازه بلورهای پیریت نسل اول افزایش می‌یابد (شکل ۹ ب و شکل ۶) و بلورهای ریز کانی‌های مگنتیت و کالکوپیریت نسل اول در لابه‌لایی پیریت و سنگ میزبان پدیدار می‌شوند (شکل ۹ ب). نوع دوم از پیریت‌های نسل اول (Py Ib)، پیریت‌های ریزبلور و بی‌شکل هستند که همراه با کالکوپیریت‌های نسل اول (Cpy I) در رخساره کانسنگ لایه‌ای تشکیل شده‌اند (شکل ۹الف و ب). نسل دوم پیریت (Py II) و نسل دوم کالکوپیریت (Cpy II) با بافت توده‌ای و رگه‌ای در رخساره کانسنگ توده‌ای و زون تغذیه‌کننده قابل مشاهده هستند که گاهی به صورت نیمه شکل‌دار و درشت بلور می‌باشند (شکل ۹ و شکل ۷).

ترکیب کانی‌شناسی در بافت توده‌ای شامل کالکوپیریت، پیریت، اسفالریت، پیروتیت، مگنتیت، بورنیت و سولفوسالت و به مقدار اندک کولولیت و کالکوپیریت می‌باشد. سولفیدها درشت بلور بوده و قرارگیری آنها در کنار یکدیگر به صورت توده‌ای دیده می‌شود (شکل ۱۰ الف و شکل ۷) بافت توده‌ای موجود در این رخساره در واقع ترکیبی از بافت توده‌ای، جانشینی و رگه‌ای است. در این بافت، کانی‌های مگنتیت و کالکوپیریت نسل دوم و اسفالریت به صورت گسترده جانشین پیریت‌های نسل اول و دوم شده‌اند (شکل ۱۰الف و شکل ۷). نسل سوم از کانه‌های سولفیدی به صورت سایه فشاری در طی فرآیند دگرگونی تشکیل شده اند (شکل ۱۰). کانی سولفیدی بعدی که در کانسار چاهفرسخ شمالی از فراوانی قابل ملاحظه‌ای برخوردار است اسفالریت می‌باشد که از دو نسل تشکیل شده است. نسل اول اسفالریت‌های (Sph I) ریزبلور در بخش لایه‌ای می‌باشد که فراوانی اندکی به نسبت کانی‌های پیریت و کالکوپیریت نسل اول برخوردار است (شکل ۹). نسل دوم از کانی اسفالریت (Sph II) مربوط به بخش توده‌ای کانسار می‌باشد که درشت بلور بوده و به صورت هم زمان با کالکوپیریت‌های نسل دوم تشکیل شده است این نسل از کانی اسفالریت از فراوانی بیشتری برخوردار است (شکل ۱۰ ب و ج). مگنتیت مهم‌ترین کانی آهن‌دار اکسیدی در کانسار چاهفرسخ شمالی است و به طور عمده در زون کانسنگ توده‌ای تمرکز پیدا کرده است. کانی مگنتیت به صورت دو نسل متفاوت در کانسار چاهفرسخ شمالی تشکیل شده است. نسل اول به صورت مگنتیتهای (Mgt I) دانه پراکنده در رخساره کانسنگ لایه‌ای و همراه با پیریت‌ها و کالکوپیریت‌های نسل اول است که



شکل ۹: الف: تصویر میکروسکوپی از پیریت‌های نسل اول که به دو صورت پیریت‌های فرموبنده‌ال Py و پیریت‌های دانه پراکنده بی‌شکل Py دیده می‌شوند، ب: تصاویر میکروسکوپی از بافت لایه‌ای غنی از سولفید که متشکل از پیریت‌های نسل اول نوع دو و کالکوپیریت نسل اول می‌باشند، ج: تصاویر میکروسکوپی از وجود کالکوپیریت‌های نسل یک و بورنیت به صورت ادخال در داخل پیریت‌های نسل یک، د: تصویر میکروسکوپی از حضور کانی‌های سولفوسالتی تراهدریت و تنانیت در داخل پیریت‌های نسل دو، ه: تصویر میکروسکوپی از کانی‌های پیریت و مگنتیت نسل اول در رخساره کانسنگ لایه‌ای، و: تصاویر میکروسکوپی از کانی‌های پیریت، کالکوپیریت و اسفالریت نسل یک (Sph I) (Sph: پیریت، Cpy: کالکوپیریت، Mgt: مگنتیت، Tt-Tnt: تراهدریت-تنانیت، Bn: بورنیت، Sph: اسفالریت).

دگرسانی کلریتی که نسبت به دیگر دگرسانی‌ها، بیشترین فراوانی را در افق‌های کانه‌دار با سنگ میزبان متاولکانیکی دارد، به صورت وسیع باعث تشکیل کانی‌های کلریت، اپیدوت، کوارتز و کلسیت شده است (شکل ۱۱ الف). این نوع کلریت‌ها مرتبط

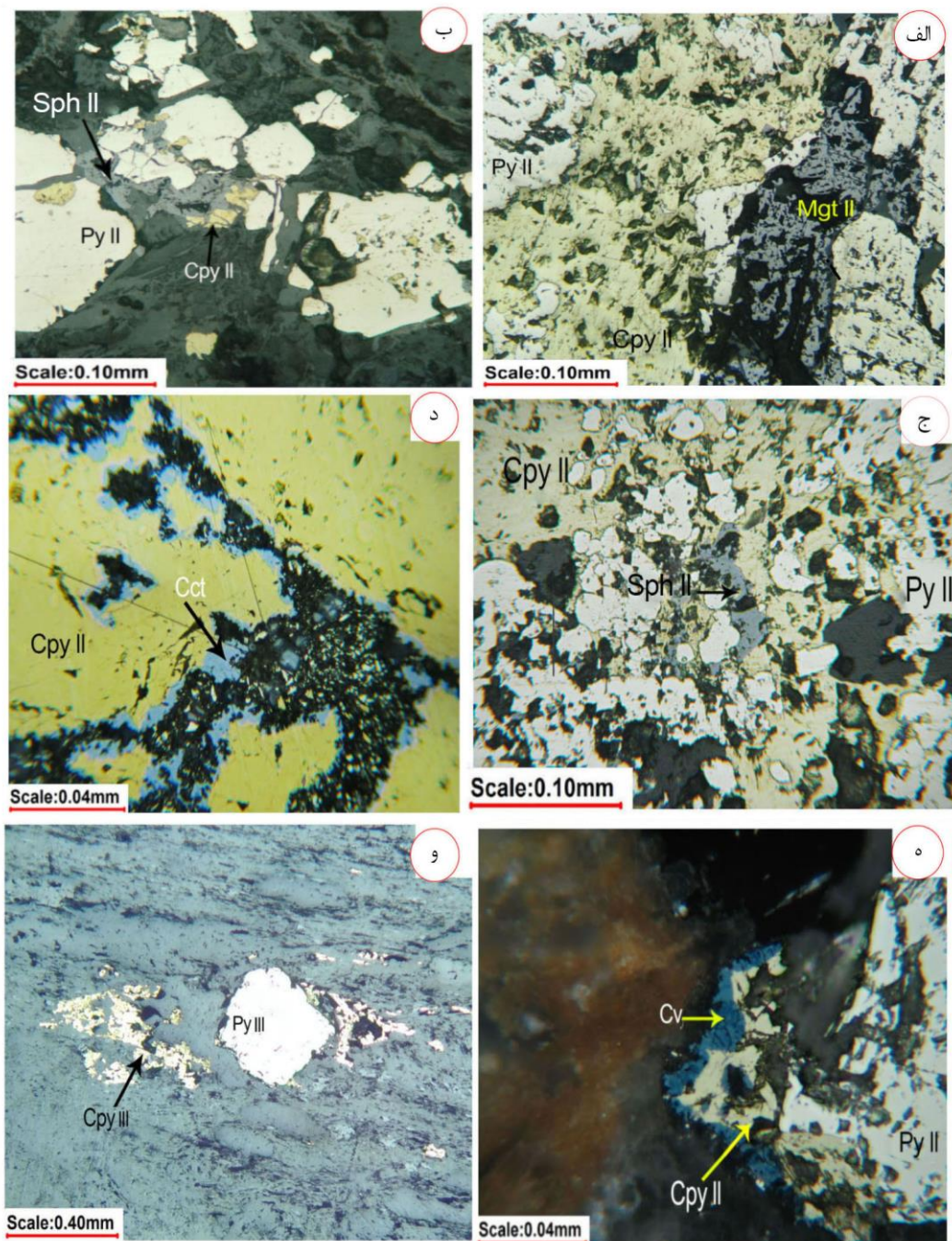
دگرسانی و کانی‌های باطله براساس مطالعات صحرایی و میکروسکوپی دگرسانی‌های کلریتی، سیلیسی، سریسیتی و کربناتی بیشترین گسترش را در توالی میزبان کانسار چاه فرسخ شمالی دارند (شکل ۱۱).

لایه‌ای و همراه با پیریت‌های نسل اول می‌باشد و بافت لایه‌ای ظرفی از خود نشان می‌دهد (اشکال عب و ۱۱). کوارتزها و کربنات نسل دوم همراه با پیریت و کالکوپیریت‌های نسل دوم به صورت رگه‌رگچه‌ای در رخساره کانسنگی تغذیه کننده و توده‌ای کانسار چاه فرسخ شمالی قابل مشاهده است (اشکال ۷، ۱۱، ۱۲ و ۱۳). نسل سوم از این کانی‌ها، درشت بلورتر از کوارتز و کربنات نسل دوم هستند و در امتداد درزهای شکستگی‌ها و بدون همراهی با سولفیدهای کانه‌دار تشکیل شده‌اند. مطالعات نشان می‌دهد که این کوارتزها بعد از مرحله کانی‌زایی و در طی فرآیند دگرگونی و دگرشکلی تشکیل شده‌اند (شکل ۱۱ و ۱۲).

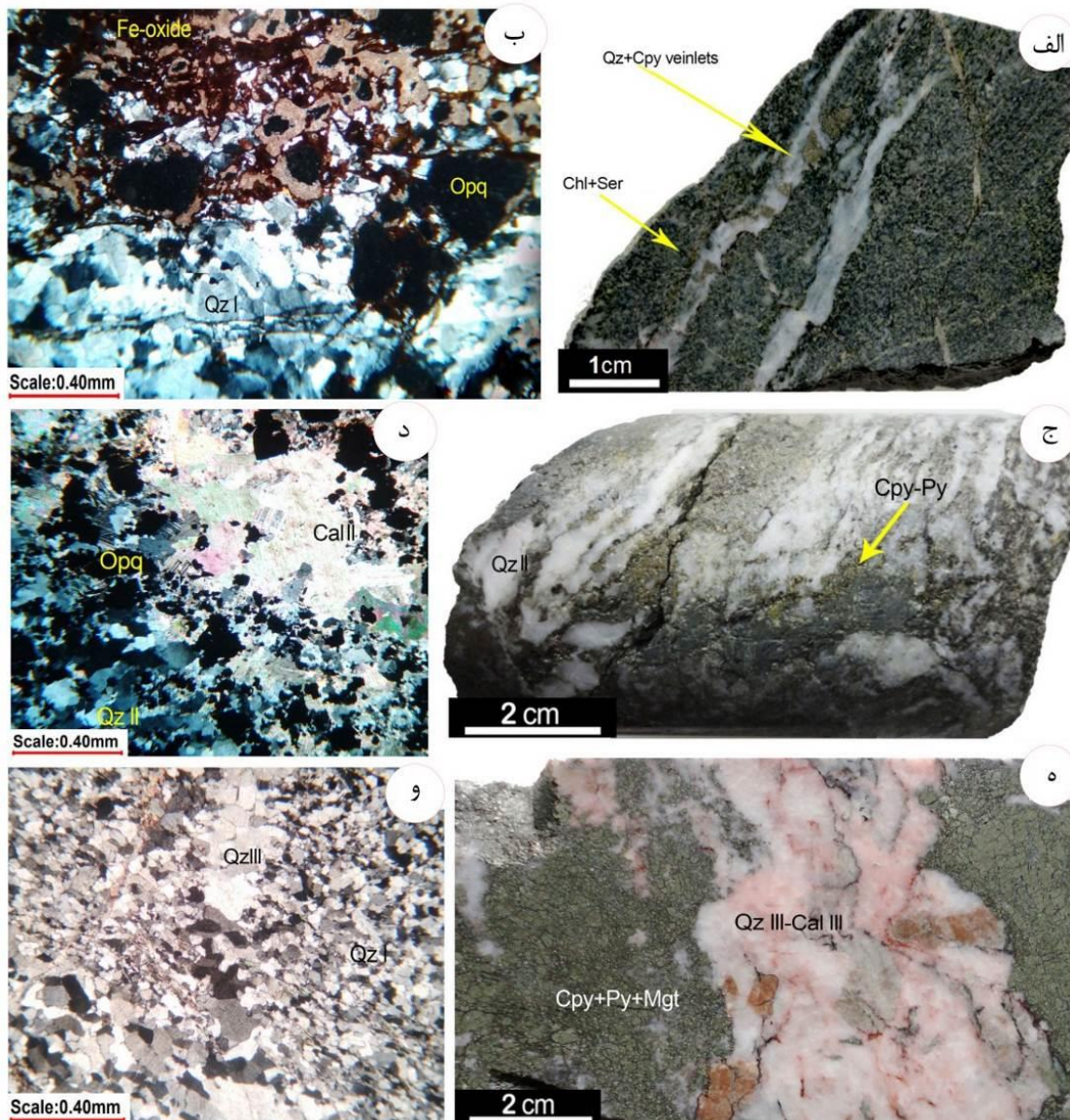
میانبارهای سیال

مطالعه میانبارهای سیال در طی سال‌های گذشته، بخشی از مفیدترین اطلاعات را در رابطه با تعیین ویژگی‌های فیزیکی و شیمیایی سیالات و محیط تشکیل کانسارها، در اختیار محققین مختلف قرار داده است (Pirajno, 2009; Maghfouri et al., 2017; 2020; 2021b; 2021c). مطالعه میانبارهای سیال به دام افتاده در شبکه کانی‌ها، راهی است که بتوان به موجب آن به ماهیت سیالات کانی‌ساز و فرآیندهایی که موجب کانی‌زایی می‌شوند پی‌برد (Wilkinson, 2001) میانبارهای سیال براساس ترکیب سیال و تعداد فازهای موجود در دمای اتاق تقسیم‌بندی می‌شوند. براساس مطالعات پتروگرافی، چهار نوع میانبارهای سیال در نمونه‌های مطالعه شده محدوده معنی چاه‌فرسخ شمالی شناسائی شده است، مشخصات نمونه‌ها در جدول ۱ نشان داده شده است.

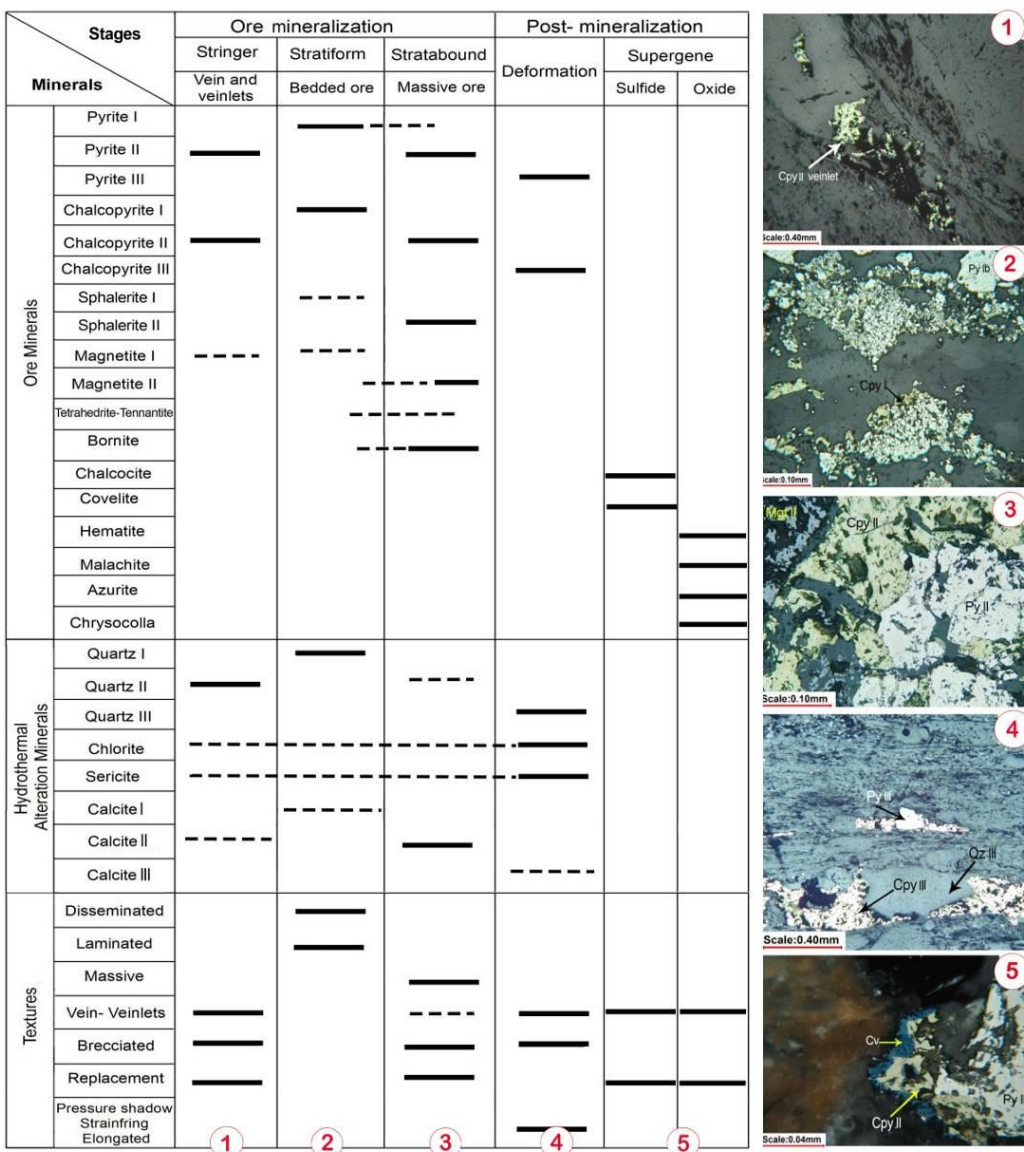
با رخسارهای کانسنگی هستند و در بخش‌های کانه‌دار دارای بیشترین گسترش می‌باشند. در طی دگرگونی ناحیه‌ای کانی‌های کلریت و اپیدوت مرتبط با دگرگونی ایجاد شده‌اند که کل مجموعه سنگ‌های منطقه را متاثر کرده است که تفکیک این دو نوع کلریت (کلریت حاصل دگرسانی و کلریت مرتبط با دگرگونی) در زیر میکروسکوپ بسیار مشکل می‌باشد. معمولاً کلریت‌های مرتبط با کانه‌زایی درشت بلور هستند و فقط در زون‌های کانه‌زایی مشاهده می‌شوند در حالی که کلریت‌های حاصل از دگرگونی ریز بلور بوده و در کل منطقه و بخش‌های بدون کانه‌زایی گسترش دارند. در کانسارهای سولفید توده‌ای آتشفسانزاد، بخش میانی کانه‌زایی دارای دگرسانی کلریتی غنی از Fe و دگرسانی سیلیسی می‌باشد در حالی که بخش حاشیه‌ای دارای کلریت‌های غنی از Mg و سریسیت می‌باشند (Franklin et al., 2005). دگرسانی کربناتی در محدوده مورد مطالعه در متاولکانیکها و سنگ‌های مرمر تشکیل شده است. مطالعه مقاطع میکروسکوپی تهیه شده از این بخش نشان داد که کربنات در طی این دگرسانی نتیجه واکنش میان سیالات هیدروترمال غنی از CO_2 و سنگ دیواره است. کوارتز و کربنات مهم‌ترین کانی‌های باطله کانسار چاه فرسخ شمالی می‌باشند که هم در مقاطع میکروسکوپی و هم در نمونه دستی، به صورت رگه‌رگچه و پرکننده فضای خالی، شکستگی‌ها و حفرات را پر کرده است. همچنین در مقاطع میکروسکوپی، لایه‌های سیلیسی به همراه کانی پیریت مشاهده می‌شوند (شکل ۶، شکل ۱۱). کوارتز و کربنات در کانسار چاه‌فرسخ شمالی به صورت سه نسل متفاوت مشاهده می‌شوند. نسل اول که به صورت لایه‌ای در رخساره کانسنگ



شکل ۱۰: الف: تصاویر میکروسکوپی از جانشینی مگنتیت نسل دو (Mgt II)، کالکوپیریت‌های نسل دوم (Cpy II) به جای پیریت‌های نسل دوم (Py II)، ب، ج: تصاویر میکروسکوپی از پیریت و کالکوپیریت‌های نسل دو و اسفالریت‌های نسل دوم (Sph II)، د: تصویر میکروسکوپی از جانشینی کالکوپیریت نسل دوم از حاشیه توسط کالکوسیت، ۵: تصویر میکروسکوپی از جانشینی کالکوپیریت نسل دوم از حاشیه توسط کوولیت. و: بافت سایه فشاری کانی کالکوپیریت نسل سوم (Cpy III) در اطراف پیریت نسل سوم (Py III) (Py: پیریت، Cpy: کالکوپیریت، Mgt: مگنتیت، Cv: کوولیت، Sph: کالکوسیت، Asf: اسفالریت).



شکل ۱۱: الف: رگه‌های سیلیسی کانه‌دار که سنگ درونگیر آن دچار دگرسانی کلریتی-سریسیتی شده است. ب: تصویر میکروسکوپی از کوارتزهای نسل اول مربوط به بخش لایه‌ای کانسار چاهفرسخ شمالی، ج: نمونه دستی از کوارتزهای نسل دوم مرتبط با کانه‌زایی سولفیدی زون رگه-رگچه‌ای، د: تصویر میکروسکوپی از کوارتزهای نسل دو همراه با کربنات‌های نسل دو مربوط به رخساره کانسنگ توده‌ای، ه: نمونه دستی از کوارتزهای دگرگونی نسل سوم که هیچ کانه‌زایی سولفیدی مس دار مرتبط با این نسل از کوارتزها مشاهده نمی‌شود و به صورت قطع کننده مجموعه سولفیدی اولیه عمل کرده است و: تصویر میکروسکوپی از کوارتزهای دگرگونی نسل سوم حاصل از فرآیند دگرگونی در منطقه چاهفرسخ (Qz: کوارتز، Py: پیریت، Cpy: کالکوپیریت، Mgt: مگنتیت، Opq: کانی اپک، Cal: کلسیت).



شکل ۱۲: مراحل تشکیل و توالی پاراژنیک کانه‌ها، کانی‌ها و ساخت و بافت در کانسار مس چاه فرسخ شمالی، ۱: مرحله تشکیل رخساره رگه-رگچه‌ای، ۲: مرحله تشکیل رخساره لایه‌ای، ۳: مرحله تشکیل رخساره توده‌ای، ۴: مرحله دگرگونی، ۵: مرحله سوپرژن

جدول ۱: مشخصات نمونه‌های کوارتزی برداشت شده برای مطالعات میانبارهای سیال از کانسار چاه فرسخ شمالی

شماره نمونه	شماره گمانه	رخساره کاسنیگی	کانی دارای میانبار سیال	عمق (متر)
Ch-E	Ch.6	کاسنیگ لایه‌ای	کوارتز	سطح
Ch-30	Ch.1	کاسنیگ لایه‌ای	کوارتز	۵۵
Ch-21	Ch.4	کاسنیگ لایه‌ای	کوارتز	۲۸
Ch-45	Ch.1	رخساره رگه-رگچه‌ای	کوارتز	۱۰۶
Ch-51	Ch.2	رخساره رگه-رگچه‌ای	کوارتز	۹۰
Ch-25	Ch.4	رخساره رگه-رگچه‌ای	کوارتز	۹۰
Ch-25	Ch.4	رخساره رگه-رگچه‌ای	کوارتز	۹۰

تک فازی غنی از CO_2 (نوع Ia) یا غنی از H_2O (نوع Ib) هستند که دارای فراوانی بیشتری در نمونه

میانبارهای سیال نوع I (میانبارهای سیال تک فازی): این نوع از سیالات، شامل میانبارهای سیال

گراد محاسبه شده است (شکل ۱۴ ب). براساس بودنار (Bodnar, 1994) شوری ۶/۴۵ تا ۱۵/۹۶ درصد وزنی نمک طعام (با میانگین ۱۲/۴۴ درصد وزنی نمک طعام) محاسبه شده است (شکل ۱۴ ج). براساس شواهد موجود در کانسар مس چاهفرسخ شمالی نظیر: ۱) شوری کم سیالات درگیر متوسط ۱۲/۴۴ درصد وزنی نمک طعام؛ ۲) دمای بالای سیال تشکیل دهنده کانسار چاهفرسخ شمالی (متوسط ۳۵۵ درجه سانتی گراد)، ۳) با توجه به نمودار شوری به دمای سیالات کانه‌دار (شکل ۱۴ د) Larg et al, (2004)، نمونه‌های سیالات درگیر کانسار چاهفرسخ شمالی در محدوده چگالی متوسط قرار گرفته است و با مدل تشکیل پلوم‌های شناور همخوانی دارد.

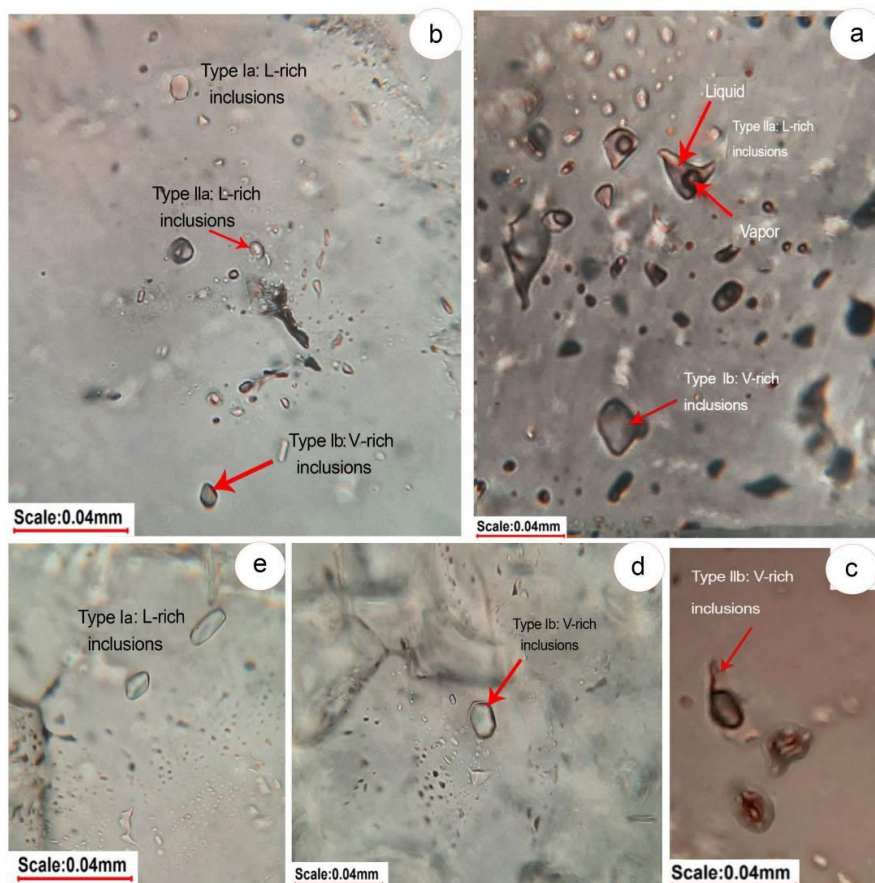
نتیجه‌گیری

تیپ کانه‌زایی مس در کانسار چاهفرسخ شمالی با توجه به شکل و ژئومتری چینه کران کانسار مس چاهفرسخ شمالی و قرارگیری آن در سنگ میزبان-های متاولکانیکی و واحدهای رسوی، ذخایر مس این منطقه با کانسارهای چینه کران مس، رده‌های گرفته است. کانسار مس چاهفرسخ شمالی از نظر سنگ میزبان با کانسارهای مس رسوی دارای تفاوت‌هایی می‌باشد. سنگ میزبان در کانسار مس چاهفرسخ شمالی شامل توالی آتشفسانی-رسوی حاوی واحدهای متاولکانیکی، آهکی و موسکوویت-کوارتز شیست است (شکل ۳) در حالی که سنگ میزبان کانه‌زایی در کانسارهای مس تیپ رسوی، سنگ‌های شیلی، ماسه‌سنگی، سیلتون و آهکی است (Hitzman et al, 2005). از نظر ساخت و بافت نیز تفاوت‌هایی بین کانسارهای مس رسوی و کانسار چاهفرسخ شمالی وجود دارد که وجود رخسارهای لایه‌ای و توده‌ای گسترده در کانسار

های مطالعه شده می‌باشد (شکل ۱۳). به‌طور کلی، میانبارهای سیال نوع Ia و Ib با اشکال بیضوی یا نامنظم به صورت منفرد در داخل کانی میزبان کوارتز یا سطوح رشد بلورهای آن مشاهده می‌شوند. اندازه میانبارهای سیال نوع I به‌طور میانگین بین ۳ تا ۵ میکرون متغیر است (شکل ۱۳ د و ۵). میانبارهای سیال نوع II (میانبارهای سیال دوفازی L+V): میانبارهای سیال نوع II شامل میانبارهای سیال دوفازی V با درجه پرشدنگی بین ۰/۰ تا ۷/۰ هستند که براساس نوع فاز غالب به دو دسته IIa و IIb تقسیم‌بندی می‌شوند (شکل ۱۳). میانبارهای سیال نوع IIa از نوع سیالات دو فازی غنی از مایع و سیالات نوع IIb از نوع سیالات دو فازی غنی از بخار هستند (شکل ۱۳ الف و ج). این نوع سیالات، اشکال بیضوی، کشیده و یا نامنظم از خود نشان داده و اغلب به صورت خوش‌های سه بعدی نامنظم یا گره‌های فاقد جهت‌یابی مسطح همراه با میانبارهای سیال نوع I مشاهده می‌شوند. اندازه این سیالات درگیر عموماً کمتر از ۱۲ میکرون می‌باشد (شکل ۱۳ الف). در نمونه‌های مطالعه شده منطقه معدنی چاهفرسخ شمالی، همزیستی میانبارهای سیال نوع I و II نشان دهنده اختلاط دو محلول با شوری بالا و پایین و جدایش فازی در حین کانه‌زائی بوده و بنابراین، دمای همگن شدن بدست آمده، می‌تواند همان دمای واقعی تشکیل کوارتز و به تبع آن، دمای کانه‌زائی کانسار چاه فرسخ شمالی باشد. مطالعات دماسنجدی سیالات درگیر بر روی ۷۰ سیال درگیر اولیه دوفازی مایع-گاز (L+V) در کانی کوارتز مربوط به زون رگه-رگچه‌ای انجام شده و در جدول ۲ مقادیر ثبت شده از (Th-Tm-Salinity) آورده شده است. محدوده آخرین نقطه ذوب یخ ($T_{\text{m}_{\text{ice}}}$) در این نمونه‌ها در بازه -4°C - 12°C قرار دارد (شکل ۱۴ الف). میانگین دمایی همگن شدن ۳۵۵ درجه سانتی

نیست. یکی از بارزترین خصوصیات کانسارهای تیپ مانتو، ژئومتری چینه‌کران و واقع شدن آنها در سنگ میزبانی آندزیتی است. بخشی از کانسار مس چاه فرسخ شمالی در سنگ میزبان بازالتی-آندزیتی تشکیل شده است. کانسارهای تیپ مانتو به صورت رگه-رگچه‌ای می‌باشند و رخسارهای کانسنگی توده‌ای و لایه‌ای در این تیپ ذخایر دیده نمی‌شود (Kirkham, 1996). در حالی که در کانسار چاه فرسخ شمالی (شکل ۶) در این تیپ ذخایر دیده نمی‌شود لایه‌ای به صورت بروندمی عمدۀ رخسارهای کانسنگی این کانسار را تشکیل می‌دهند (شکل‌های ۶ و ۷).

چاه فرسخ شمالی می‌توان نام برد. از نظر کانی‌شناسی کانسار مس چاه فرسخ شمالی متفاوت از ذخایر مس رسوی بوده و تنها وجود مقدار کمی بورنیت در کانسار چاه فرسخ شمالی با کانسارهای مس رسوی مشترک است. فسیل‌های گیاهی و ساخت و بافت جانشینی از دیگر شاخصه کانسارهای مس رسوی است (Hitzman et al., 2005). در حالی که در کانسار چاه فرسخ شمالی شواهدی از فسیل گیاهی وجود ندارد و بافت‌های لایه‌ای (شکل ۶) و توده‌ای (شکل ۷) عمدۀ بافت‌های این کانسار است. بنابراین مجموع مقایسه این شاخصه‌ها نشان می‌دهد کانسار مس چاه فرسخ شمالی از نوع کانسارهای مس تیپ Red Bed است.



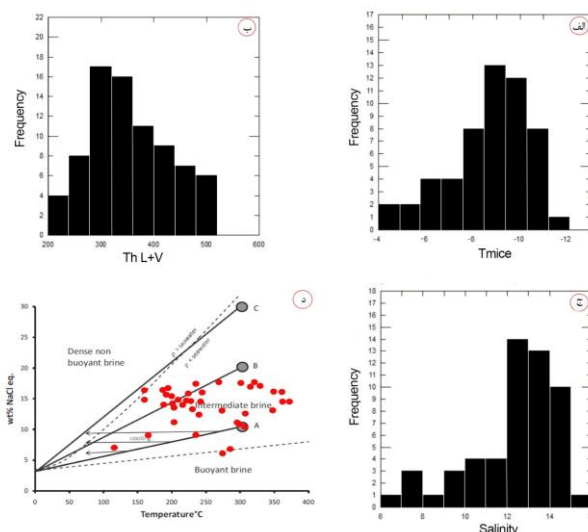
شکل ۱۳: الف: تصویری از میانوارهای سیال تک فازی و دو فازی غنی از مایع، ب: تصویری از سیالات تک فازی و دو فازی در کنار هم، ج: تصاویری از سیالات دو فازی غنی از گاز، (V)، د: تصویری از سیالات تک فازی غنی از مایع، (L)، ه: تصویری از سیال تک فازی غنی از گاز (V).

جدول ۲: نتایج میکروترمومتری میانوارهای سیال موجود در کوارتزهای زون رگ-رگچهای کانسارت خشک شمالی

شماره نمونه	نام زمین	کانی میزان	تیپ سیال	فازها	شوری (wt%NaCl equiv)	دماهی همگن شدن (°C)	دماهی آخرین ذوب بخ (°C)
۱	رخساره رگ-رگچهای	کوارتز	اولیه	مایع+بخار	۶/۴۵	۴۵۷	-۴
۲	رخساره رگ-رگچهای	کوارتز	اولیه	مایع+بخار	۷/۱۷	۳۷۷	-۴/۵
۳	رخساره رگ-رگچهای	کوارتز	اولیه	مایع+بخار	۹/۰۸	۴۸۲	-۵/۹
۴	رخساره رگ-رگچهای	کوارتز	اولیه	مایع+بخار	۱۴/۱۵	۲۹۲	-۱۰/۲
۵	رخساره رگ-رگچهای	کوارتز	اولیه	مایع+بخار	۱۳/۸۳	۳۳۱	-۹/۹
۶	رخساره رگ-رگچهای	کوارتز	اولیه	مایع+بخار	۱۳/۰۷	۲۷۰	-۹/۲
۷	رخساره رگ-رگچهای	کوارتز	اولیه	مایع+بخار	۱۲/۷۳	۳۱۹	-۸/۹
۸	رخساره رگ-رگچهای	کوارتز	اولیه	مایع+بخار	۱۲/۸۵	۳۳۳	-۹
۹	رخساره رگ-رگچهای	کوارتز	اولیه	مایع+بخار	۱۰/۴۹	۴۰۷	-۷
۱۰	رخساره رگ-رگچهای	کوارتز	اولیه	مایع+بخار	۱۱/۴۶	۳۴۵	-۷/۸
۱۱	رخساره رگ-رگچهای	کوارتز	اولیه	مایع+بخار	۱۴/۵۷	۲۵۰	-۱۰/۶
۱۲	رخساره رگ-رگچهای	کوارتز	اولیه	مایع+بخار	۸/۰۳	۲۶۱	-۵/۱۲
۱۳	رخساره رگ-رگچهای	کوارتز	اولیه	مایع+بخار	۱۲/۷۳	۳۰۸	-۸/۹
۱۴	رخساره رگ-رگچهای	کوارتز	اولیه	مایع+بخار	۱۰/۴۹	۴۰	-۷
۱۵	رخساره رگ-رگچهای	کوارتز	اولیه	مایع+بخار	۱۳/۹۴	۳۰	-۱۰
۱۶	رخساره رگ-رگچهای	کوارتز	اولیه	مایع+بخار	۱۴/۹۷	۳۷۲	-۱۱
۱۷	رخساره رگ-رگچهای	کوارتز	اولیه	مایع+بخار	۱۳/۴۰	۲۳۰	-۹/۵
۱۸	رخساره رگ-رگچهای	کوارتز	اولیه	مایع+بخار	۷/۷۳	۲۰۸	-۴/۹
۱۹	رخساره رگ-رگچهای	کوارتز	اولیه	مایع+بخار	۱۲/۰۵	۵۰	-۸/۳
۲۰	رخساره رگ-رگچهای	کوارتز	اولیه	مایع+بخار	۱۳/۰۷	۳۱۵	-۹/۲
۲۱	رخساره رگ-رگچهای	کوارتز	اولیه	مایع+بخار	۱۰/۴۹	۳۰۸	-۷
۲۲	رخساره رگ-رگچهای	کوارتز	اولیه	مایع+بخار	۱۲/۷۳	۲۹۵	-۸/۹
۲۳	رخساره رگ-رگچهای	کوارتز	اولیه	مایع+بخار	۶/۸۸	۳۰	-۴/۳
۲۴	رخساره رگ-رگچهای	کوارتز	اولیه	مایع+بخار	۸/۶۸	۳۳۹	-۵/۶
۲۵	رخساره رگ-رگچهای	کوارتز	اولیه	مایع+بخار	۱۱/۴۶	۳۲۷	-۷/۸
۲۶	رخساره رگ-رگچهای	کوارتز	اولیه	مایع+بخار	۱۴/۹۷	۴۲۱	-۱۱
۲۷	رخساره رگ-رگچهای	کوارتز	اولیه	مایع+بخار	۱۴/۸۷	۳۴۱	-۱۰/۹
۲۸	رخساره رگ-رگچهای	کوارتز	اولیه	مایع+بخار	۱۳/۹۴	۵۰	-۱۰
۲۹	رخساره رگ-رگچهای	کوارتز	اولیه	مایع+بخار	۱۲/۹۶	۳۲۹	-۹/۱
۳۰	رخساره رگ-رگچهای	کوارتز	اولیه	مایع+بخار	۱۰/۴۹	۳۹۷	-۷
۳۱	رخساره رگ-رگچهای	کوارتز	اولیه	مایع+بخار	۹/۲۱	۲۰۳	-۶
۳۲	رخساره رگ-رگچهای	کوارتز	اولیه	مایع+بخار	۷/۸۶	۲۲۸	-۵
۳۳	رخساره رگ-رگچهای	کوارتز	اولیه	مایع+بخار	۱۲/۸۵	۴۵۶	-۹
۳۴	رخساره رگ-رگچهای	کوارتز	اولیه	مایع+بخار	۱۴/۹۷	۳۷۰	-۱۱
۳۵	رخساره رگ-رگچهای	کوارتز	اولیه	مایع+بخار	۷/۷۳	۳۸۸	-۴/۹
۳۶	رخساره رگ-رگچهای	کوارتز	اولیه	مایع+بخار	۷/۸۶	۲۸۲	-۵
۳۷	رخساره رگ-رگچهای	کوارتز	اولیه	مایع+بخار	۱۰/۲۴	۲۶۹	-۶/۸
۳۸	رخساره رگ-رگچهای	کوارتز	اولیه	مایع+بخار	۱۳/۹۴	۳۵۰	-۱۰
۳۹	رخساره رگ-رگچهای	کوارتز	اولیه	مایع+بخار	۱۱/۹۳	۳۷۳	-۸/۲

شماره نمونه	نام زمین	کانی میزان	تیپ سیال	فازها	شوری (wt%NaCl equiv)	دماهی همگن شدن (°C)	دماهی آخرین ذوب بخ (°C)
۴۰	رخساره رگ-رگچهای	کوارتز	اولیه	مایع+بخار	۱۵/۱۷	۳۰۲	-۱۱/۲
۴۱	رخساره رگ-رگچهای	کوارتز	اولیه	مایع+بخار	۱۴/۹۷	۵۰	-۱۱
۴۲	رخساره رگ-رگچهای	کوارتز	اولیه	مایع+بخار	۹/۲۱	۳۴۰	-۶
۴۳	رخساره رگ-رگچهای	کوارتز	اولیه	مایع+بخار	۱۳/۹۴	۴۵۵	-۱۰
۴۴	رخساره رگ-رگچهای	کوارتز	اولیه	مایع+بخار	۱۳/۷۲	۲۸۳	-۹/۸
۴۵	رخساره رگ-رگچهای	کوارتز	اولیه	مایع+بخار	۳/۳۹	۳۸۰	-۲
۴۶	رخساره رگ-رگچهای	کوارتز	اولیه	مایع+بخار	۸/۸۱	۲۹۱	-۵/۷
۴۷	رخساره رگ-رگچهای	کوارتز	اولیه	مایع+بخار	۶/۴۵	۳۵۱	-۴
۴۸	رخساره رگ-رگچهای	کوارتز	اولیه	مایع+بخار	۱۳/۹۴	۲۷۲	-۱۰
۴۹	رخساره رگ-رگچهای	کوارتز	اولیه	مایع+بخار	۵/۵۶	۳۶۱	-۳/۴
۵۰	رخساره رگ-رگچهای	کوارتز	اولیه	مایع+بخار	۹/۰۸	۳۹۲	-۵/۹
۵۱	رخساره رگ-رگچهای	کوارتز	اولیه	مایع+بخار	۸/۶۸	۲۷۷	-۵/۶
۵۲	رخساره رگ-رگچهای	کوارتز	اولیه	مایع+بخار	۱۳/۹۴	۴۲۸	-۱۰
۵۳	رخساره رگ-رگچهای	کوارتز	اولیه	مایع+بخار	۱۲/۰۵	۳۳۵	-۸/۳
۵۴	رخساره رگ-رگچهای	کوارتز	اولیه	مایع+بخار	۱۲/۸۵	۴۵۰	-۹

۵۵	رخساره رگه-رگجهای	کوارتز	اولیه	مایع+بخار	۱۴/۹۷	۲۹۲	-۱۱
۵۶	رخساره رگه-رگجهای	کوارتز	اولیه	مایع+بخار	۱۵/۹۶	۲۷۸	-۱۲
۵۷	رخساره رگه-رگجهای	کوارتز	اولیه	مایع+بخار	۱۴/۴۶	۴۲۸	-۱۰/۵
۵۸	رخساره رگه-رگجهای	کوارتز	اولیه	مایع+بخار	۹/۲۱	۲۷۳	-۶
۵۹	رخساره رگه-رگجهای	کوارتز	اولیه	مایع+بخار	۱۳/۲۹	۳۰۵	-۹/۴
۶۰	رخساره رگه-رگجهای	کوارتز	اولیه	مایع+بخار	۱۱/۷۰	۴۰۹	-۸
۶۱	رخساره رگه-رگجهای	کوارتز	اولیه	مایع+بخار	۱۲/۲۸	۲۱۱	-۸/۵
۶۲	رخساره رگه-رگجهای	کوارتز	اولیه	مایع+بخار	۱۲/۸۵	۲۷۹	-۹
۶۳	رخساره رگه-رگجهای	کوارتز	اولیه	مایع+بخار	۸/۹۵	۲۵۷	-۵/۸
۶۴	رخساره رگه-رگجهای	کوارتز	اولیه	مایع+بخار	۹/۴۷	۵۰۰	-۶/۲
۶۵	رخساره رگه-رگجهای	کوارتز	اولیه	مایع+بخار	۱۳/۹۴	۴۴۹	-۱۰
۶۶	رخساره رگه-رگجهای	کوارتز	اولیه	مایع+بخار	۱۰/۴۹	۴۱۵	-۷
۶۷	رخساره رگه-رگجهای	کوارتز	اولیه	مایع+بخار	۱۲/۰۵	۴۴۸	-۸/۳
۶۸	رخساره رگه-رگجهای	کوارتز	اولیه	مایع+بخار	۱۲/۸۵	۳۴۵	-۹
۶۹	رخساره رگه-رگجهای	کوارتز	اولیه	مایع+بخار	۱۲/۸۵	۴۶۶	-۹
۷۰	رخساره رگه-رگجهای	کوارتز	اولیه	مایع+بخار	۱۴/۵۷	۴۱۶	-۱۰/۶
۷۱	رخساره رگه-رگجهای	کوارتز	اولیه	مایع+بخار	۱۳/۷۲	۳۵۰	-۹/۸
۷۲	رخساره رگه-رگجهای	کوارتز	اولیه	مایع+بخار	۱۳/۹۴	۳۴۹	-۱۰
۷۳	رخساره رگه-رگجهای	کوارتز	اولیه	مایع+بخار	۱۲/۱۶	۵۰۰	-۸/۴
۷۴	رخساره رگه-رگجهای	کوارتز	اولیه	مایع+بخار	۱۵/۹۶	۳۱۴	-۱۲
۷۵	رخساره رگه-رگجهای	کوارتز	اولیه	مایع+بخار	۱۴/۹۷	۴۰۲	-۱۱
۷۶	رخساره رگه-رگجهای	کوارتز	اولیه	مایع+بخار	۱۱/۶۲	۳۰۸	-۸/۸
۷۷	رخساره رگه-رگجهای	کوارتز	اولیه	مایع+بخار	۱۴/۱۵	۳۰۰	-۱۰/۲
۷۸	رخساره رگه-رگجهای	کوارتز	اولیه	مایع+بخار	۱۲/۸۵	۳۴۵	-۹



شکل ۱۴: خصوصیات دماسنجدی میانبارهای سیال: الف: هیستوگرام فراوانی دمای ذوب یخ میانبارهای سیال، ب: دمای همگن شدن میانبارهای سیال، ج: هیستوگرام فراوانی شوری میانبارهای سیال، د: براساس نمودار دما-شوری سیالات کانه‌دار، سیالات کانسار چاه فرسخ در محدوده چگالی متوسط قرار می‌گیرد (Large et al, 2004).

بورنیت و مس طبیعی کانی‌شناسی این ذخایر را تشکیل می‌دهد (Kojima et al, 2009). بافت‌های جانشینی، رگه-رگجهای، پرکننده فضای خالی از بافت‌های مهم کانسارهای مس تیپ مانتو است (Kojima et al, 2009; Kirkham, 1996). در کانسار مس چاه فرسخ شمالی برخلاف ذخایر تیپ

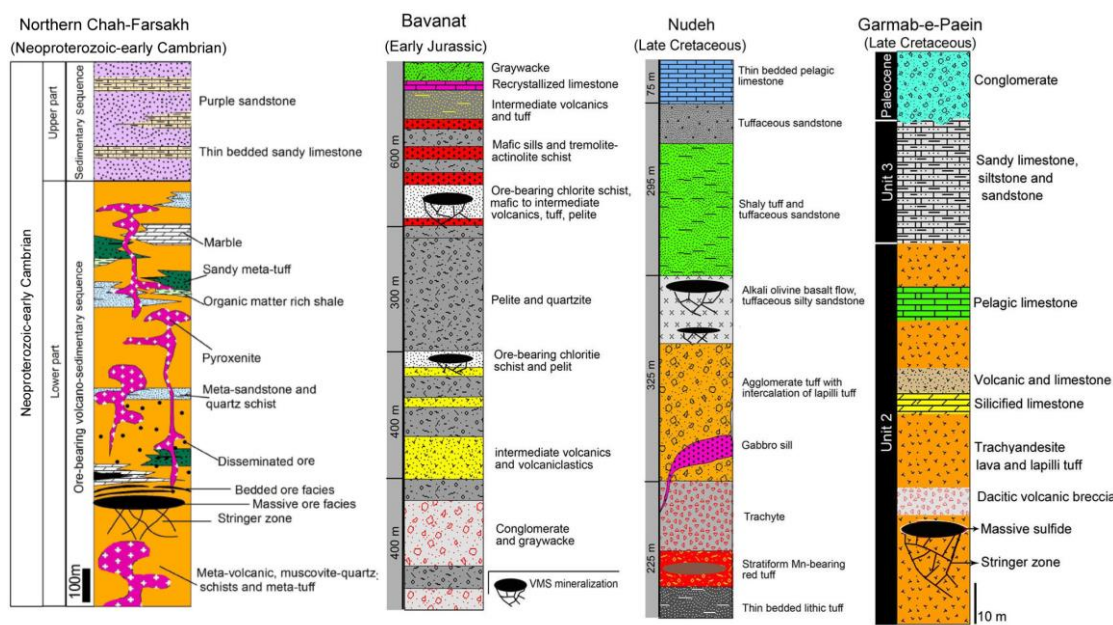
کانسار مس چاه فرسخ شمالی از لحاظ کانی‌شناسی هم متفاوت از ذخایر تیپ مانتو است به‌طوری که در کانسار مس چاه فرسخ شمالی عمدۀ کانه‌ها شامل کالکوپیریت، مگنتیت، پیروتیت، اسفالریت، تتراهریت-تنانتیت و پیریت است (شکل ۱۲) در حالی که در کانسارهای تیپ مانتو کالکوسبیت،

2005) بر مبنای چینه‌نگاری و شرایط لیتوتکتونیکی به پنج زیر تیپ تقسیم‌بندی می‌شوند که عبارتند از: تیپ بایمودال مافیک یا تیپ نوراندا، تیپ بایمودال پلیتیک مافیک یا بشی، تیپ بایمودال فلزیک یا کوروکو، تیپ فلزیک سیلیسی کلاستیک یا بتورست و تیپ مافیک-ترامافیک یا قبرس. در جدول ۳ تقسیم‌بندی این تیپ‌های کانساری VMS و مقایسه آن‌ها با کانسار چاهفرسخ شمالی ذکر شده است. با توجه به توالی مافیک و کانی‌زایی مس- روی در کانسار چاهفرسخ شمالی، این کانسار جزء کانسارهای تیپ کوروکو و بتورست قرار نگرفته و از سوی دیگر به علت قرار نداشتن این کانسار در کمپلکس افیولیتی، کانسار چاهفرسخ شمالی در رده کانسارهای تیپ قبرسی نیز قرار نمی‌گیرد. در رابطه با کانسارهای نوع بایمودال مافیک نیز مطابق فرانکلین و همکاران (Franklin et al, 2005) سنگ‌های آتشفسانی بخش عمدۀ توالی را تشکیل داده و سنگ‌های رسوبی کمتر از ۱۰ درصد توالی ذخایر تیپ نوراندا را شامل می‌شوند، در حالی که در توالی منطقه معدنی چاهفرسخ شمالی سنگ‌های رسوبی حدود ۴۵ تا ۴۵ درصد توالی را تشکیل می‌دهند (شکل ۵). لذا کانسار چاهفرسخ شمالی جزء کانسارهای بایمودال مافیک نیز نخواهد بود. بنابراین، در مقایسه توالی ستون استراتیگرافی کانسار مس چاهفرسخ شمالی با ستون‌های لیتواستراتیگرافی پنج نوع VMS (جدول ۳) کانسار مس چاهفرسخ شمالی، بیشترین شباهت را با کانسارهای نوع پلیتیک مافیک (Besshi Type VMS or pelitic mafic VMS) نشان می‌دهند (deposit or mafic siliciclastic) که از این نظر مشابه با ذخایر مس بوانات، نوده و گرماب می‌باشد که به عنوان ذخایر VMS تیپ بشی در ایران معرفی شده‌اند (شکل ۱۵).

مانتو، عمدۀ بافت‌های مشاهده شده از نوع لایه‌ای (شکل ۶)، توده‌ای (شکل ۷) و جانشینی است. با توجه به موارد ذکر شده تفاوت‌هایی از نظر ساخت و بافت و کانی‌شناسی همچنین رخساره‌های کانسنگی بین کانسار چاهفرسخ شمالی و کانساهای مس تیپ مانتو وجود دارد. مشابه با ذخایر VMS، سنگ‌های آتشفسانی-رسوبی میزبان کانسار مس چاهفرسخ شمالی است و هر چهار رخساره کانسنگی مشاهده شده در ذخایر VMS، در کانسار چاهفرسخ شمالی مشاهده می‌شود (شکل‌های ۶، ۷ و ۸). این رخساره‌ها شامل زون رگه-رگچه‌ای، رخساره کانسنگ توده‌ای، رخساره کانسنگ لایه‌ای است. با توجه به بررسی‌های صورت گرفته در کانسار مس چاهفرسخ شمالی، این کانسار دارای بافت‌های لایه‌ای، توده‌ای و رگه-رگچه‌ای هستند و کانی‌شناسی آنها نیز به‌طور عمدۀ شامل کالکوپیریت، پیریت، مگنتیت و اسفالریت است (شکل ۱۲) که با کانی‌شناسی و ساخت و بافت کانسارهای سولفید توده‌ای شبیه می‌باشد. دگرسانی همراه با کانسار چاهفرسخ شمالی شامل سیلیسی، کلریتی، کربناتی و اپیدوتی است ولی دگرسانی آرژبلیک در آن مشاهده نمی‌شود. از نظر کانی‌های گانگ همراه با رگه-رگچه‌ای سولفیدی نیز مشابه با کانسارهای سولفید توده‌ای آتشفسانزاد، حاوی رگه-رگچه‌های کوارتز و کربناتی می‌باشد (Franklin et al, 2005). با توجه به کلیه ویژگی‌های کانسار مس چاهفرسخ شمالی و مقایسه آن با ویژگی‌های رده‌های مختلف کانه‌زایی مس چینه‌کران (مس رسوبی، نوع مانتو و VMS)، این کانسارها شباهت بسیار زیادی با کانسارهای نوع VMS نشان می‌دهند. بنابراین در ادامه این کانسار با زیرتیپ‌های کانه‌زایی تیپ VMS به تفصیل مورد مقایسه قرار گرفته است. نهشته‌های براساس تقسیم‌بندی فرانکلین و همکاران (Franklin et al,

جدول ۳: مقایسه کانسار چاه فرسخ شمالی با ویژگی‌های انواع تیپ کانسارهای سولفید توده‌ای آتشفشارزاد (Franklin et al, 2005)

ویژگی‌های شاخص	سیلیسی کلاستیک با مودال فلزیک (تیپ بتورست)	بایمودال فلزیک (تیپ کوروکو)	بایمودال مافیک (تیپ نوراندا)	مافیک-الترامافیک (تیپ قبرس)	با مودال پلیتیک (تیپ بشی)	کانسار چاه فرسخ شمالی
جایگاه تکتونیکی	قوس و پشت قوسی قوس و پشت قوسی	قوس‌های نوظهور قوسی	پشت‌های میان اقیانوسی	ریفت قاره‌ای پشت قوسی	ریفت قاره‌ای پشت قوسی	
توالی چینه‌ای	داسیت، ریولیت و شیل- های سیاه	سنگ‌های بازالت متاولکانیک (بازالت تا آندزیت)، مسکووت-کوارتز شیست و مرمر	بازالت، آندزیت و سنگ‌های آذراواری گذازهای بالشی و شیل	گذازهای بازالتی، آندریت، سیلیستون آندزیت، مافیک	بازالت و سنگ‌های سنگ‌های آذراواری مافیک	
کانی‌شناسی	اسفالریت، گالن، پیریت، آرسنوبیریت، پیروتیت، تراهریت و باریت	پیریت، کالکوبیریت و اسفالریت مگنتیت، پیروتیت بورنیت، تراهریت و تنانقیت	پیریت، کالکوبیریت و اسفالریت مگنتیت، پیروتیت و اسفالریت	پیریت، کالکوبیریت و اسفالریت کالکوبیریت، کلریت، کوارتز، کربنات و سرسیت	پیریت، کالکوبیریت و اسفالریت کلریت، کوارتز و کربنات	پیریت، کالکوبیریت، کلریت، کوارتز و کربنات
عناصر کانه‌دار کانی‌های باطله	روی-سرپ-مس کربنات، کوارتز، سرسیت و باریت	سرپ-روی-باریت باریت و کوارتز و کربنات	سرپ (روی) کلریت و کوارتز و کربنات	مس-روی کلریت، کوارتز، سرسیت و اپیدوت	مس کلریت، کوارتز و سرسیت	مس-روی
کانی‌های دگرسانی	سرسیت، سیلیس، کلریت و کلسیت	کلریت و سرسیت کلریت	کلریت، کوارتز، کلریت	کلریت، کوارتز، سرسیت و کربنات	کلریت، کوارتز و سرسیت	کلریت، کوارتز، دانه
ساخت و بافت	توده‌ای، لایه‌ای، پراکنده و رگه-رگچه‌ای	توده‌ای، لایه‌ای، دانه پراکنده و رگه-رگچه‌ای	توده‌ای، لایه‌ای، دانه پراکنده و رگه-رگچه‌ای	توده‌ای، لایه‌ای، دانه پراکنده و رگه-رگچه‌ای	توده‌ای، لایه‌ای، دانه	توده‌ای، لایه‌ای، دانه
میانبارهای سیال	۱۰۰ تا ۲۹۶ شور: ۱۱ تا ۳۸	۱۰۰ تا ۲۸۳ شور: ۱۰ تا ۳۰	۲۳۰ تا ۲۰۰ شور: ۶ تا ۳۷۰	۲۳۰ تا ۲۰۰ شور: ۱۱ تا ۳۵۰	۲۳۰ تا ۲۰۰ شور: ۱۰ تا ۳۷۰	۵۰۰ تا ۲۰۰ شور: ۶ تا ۱۶
مثال‌هایی از ایران	Nudeh (Maghfouri et al, 2016; 2018; 2021a); Banavat deposit (Mousivand et al, 2007; 2012)	Shaikh-Aali deposit (Rastad et al, 2012)	Sargaz deposit (Badrzadeh et al, 2010)	Barika deposit (Yarmohammadi et al, 2008)	Chahgaz deposit (Mousivand et al, 2011)	Mطلعه حاضر



شکل ۱۵: مقایسه ستون چینه‌شناسی کانسار چاه فرسخ شمالی با کانسارهای سولفید توده‌ای آتشفسانزاد تیپ بشی بوانات نوده (Maghfouri et al., 2016; 2018; 2021a)، و گرماب (طاشی، ۱۳۹۴).

- مغفوری، س.، ۱۳۹۱. زمین‌شناسی، کانی‌شناسی، ژئوشیمی و ژنرالیتی کانه‌زایی مس در توالی آتشفسانزاد-رسوبی کرتاسه پسین در جنوب غرب سبزوار، با تأکید بر کانسار نوده، پایان‌نامه کارشناسی ارشد، دانشگاه تربیت مدرس.
 - مغفوری، س.، راستاد، ا. و موسیوند، ف.، ۱۳۹۳. کانسار سولفید توده‌ای آتشفسانزاد (VMS) نوده، نمونه‌ای از کانسارهای نوع بشی (type- Besshi)، جنوب باخته سبزوار، فصلنامه علوم زمین، شماره ۹۶، ص ۷۳-۸۶.
 - هوشمندزاده، ع.، ۱۳۵۱. نقشه زمین‌شناسی و اکتشاف معدنی کشور.
 - هوشمندزاده، ع.، علوی‌نائینی، م. و حفی‌پور، ع.، ۱۳۵۷. تحول پدیده‌های زمین‌شناسی ناحیه تروند (از پرکامبرین تا عهد حاضر)، سازمان زمین‌شناسی و معدنی کشور، نقشه شماره H5.

منابع

- جعفریان، م.، ۱۳۸۰. نقشه زمین‌شناسی ۱:۱۰۰,۰۰۰ کلاته رشم و معبد، سازمان زمین‌شناسی و اکتشافات معدنی کشور.
- حمامی‌پور، ب.، ۱۳۹۶. گزارش اکتشاف تفصیلی کانسار مس چاه فرسخ، سازمان صنایع و معادن استان سمنان، ۱۶۰ ص.
- طاشی، م.، ۱۳۹۴. کانی‌شناسی، زمین‌شیمی و الگوی پیدایش کانسارهای مس-نقره گرماب پایین و اسبکشان، منطقه خارتوران، جنوب شرق شاهرود، پایان‌نامه کارشناسی ارشد، دانشگاه صنعتی شاهروд.
- موسیوند، ف.، ۱۳۸۲. کانی‌شناسی، ژئوشیمی و ژنرالیتی مس در مجموعه آتشفسانزاد-رسوبی کانه‌زایی مس در منطقه بوانات، استان فارس، پایان‌نامه کارشناسی ارشد، دانشگاه تربیت مدرس.

- Alavi, M., 1996. Tectonostratigraphic synthesis and structural style of the Alborz mountain system in northern Iran. *Journal of Geodynamics*, v. 21, p. 1-33.
- Amidi, S.M., Emami, M.H. and Michel, R., 1984. Alkaline character of Eocene volcanism in the middle part of central Iran and its geodynamic situation. *Geol. Rundsch.* v. 73, p. 917-932.
- Badrzadeh, Z., Barrett, T.J., Peter, J.M., Gimeno, D., Sabzehei, M. and Aghazadeh, M., 2010. Geology, mineralogy and sulfur Isotope geochemistry of the Sargaz Cu-Zn volcanogenic massive sulfide deposit, Sanandaj-Sirjan zone, Iran. *Mineralium Deposita*, v. 46(8), p. 905-923.
- Barrie, T.C., Nielsen, F.W. and Aussant, C.H., 2007. The Bisha Volcanic-Associated Massive Sulfide Deposit, Western Nakfa Terrane, Eritrea, *Economic Geology*, v. 102, p. 717-738.
- Bodnar, R.J. and Vityk, M.O., 1994. Interpretations of microthermometric data for H₂O-NaCl fluid inclusions, in DeVivo, B., and Frezzotti, M.L., eds., *Fluid inclusions in minerals: Methods and applications*: Blacksburg, Virginia Polytechnic Institute and State University Press, p. 117-130.
- Crawford, A.R., 1977. A summary of isotopic age data for Iran, Pakistan and India. *Memoire Societe Geologique de France*, v. 8, p. 251-260.
- Eshraghi, S.A. and Jalali, A., 2006. Reports on the geological map of Moalleman, 1: 100,000. Geological Survey of Iran.
- Fard, M., Rastad, E. and Ghaderi, M., 2006. Epithermal gold and base metal mineralization at Gandy deposit, north of central Iran and the role of rhyolitic intrusions. *Journal of Sciences University Tehran*, v. 17, p. 327-335.
- Franklin, J.M., Gibson, H.L., Jonasson, I.R. and Galley, A.G., 2005. Volcanogenic Massive Sulphide Deposits, *Economic Geology* 100th anniversary, p. 523-560.
- Ghorbani Derakhshi, M., Hosseinzadeh, M.R., Moayyed, M. and Maghfouri, S., 2019. Metallogenesis of Precambrian SEDEX-type Barite-(Pb-Cu-Zn) deposits in the Mishu mountain, NW Iran: Constrains on the geochemistry and tectonic evolution of mineralization. *Ore Geology Reviews*, v. 107, p. 310-335.
- Hassanzadeh, J., Ghazi, A.M., Axen, G., Guest, B., Stockli, D. and Tucker, P., 2002. Oligocene mafic-alkaline magmatism in north and northwest of Iran: Evidence for the separation of the Alborz from the Urumieh-Dokhtar magmatic. *Geological Society of America*, v. 34(6), p. 331-348.
- Hitzman, M., Kirkham, R., Broughton, D., Thorson, J. and Selly, D., 2005. The sediment hosted stratiform copper ore system. In: Thompson, J.F.H., Goldfarb, R.J., Richards ,J.P. (Eds.), 100th Anniversary volume. *Society of Economic Geologists*, p. 609-642.
- Kirkham, R.V., 1996. Volcanic red bed copper. *Geol. Sur. of Canada, Canadian Mineral Deposit Types*, v. 8, p. 241-252.
- Kojima, S., Trista, D., Guilera, A. and Ken-ichiro ayashi, H., 2009. Genetic aspects of the manto type copper deposits based on geochemical studies of north Chilean deposits. *Resour .Geol.*, v. 59(1), p. 87-98.
- Large, R.R., McGoldrick, P., Bull, S. and Cooke, D., 2004. Proterozoic stratiform sediment-hosted zinc-lead-silver deposits of northern Australia, in Deb, M. and Goodfellow, W.D., eds., *Sediment-hosted lead-zinc sulphide deposits: Attributes and models of some major deposits of India, Australia and Canada*: Narosa publishing house, Delhi, India, p. 1-24.
- Maghfouri, S., Rastad, A., Mousivand, F. and Ye, L., 2016. Geology, ore facies and sulphur isotopes geochemistry of the Nudeh Besshi type volcanogenic

- massive sulphide deposit, Southwest Sabzevar basin, Iran. *Journal of Asian Earth Sciences*, v. 125, p. 145-161.
- Maghfouri, S., Hosseinzadeh, M.R., Rajabi, A. and Azimzadeh, A.M., 2017. Darreh-Zanjir deposit; a typical carbonate hosted Zn-Pb deposit (MVT) in early cretaceous sedimentary sequence, southern Yazd basin. *Scientific Quarterly Journal of Geosciences* v. 26(103), p. 13-28.
- Maghfouri, S., Rastad, A., Lentz, D.R., Mousivand, F. and Choulet.F., 2018. Mineralogy, microchemistry and fluid inclusion studies of the Besshi-type Nudeh Cu-Zn VMS deposit, Iran. *Chemie der Erde*, v. 78, p. 40-57.
- Maghfouri, S., Hosseinzadeh, M.R. and Choulet, F., 2020. Supergene nonsulfide Zn-Pb mineralization in the Mehdiabad world-class sub-seafloor replacement SEDEX-type deposit, Iran. *International Journal of Earth Sciences*, v. 109, p. 2531-2555.
- Maghfouri, S., Rastad, A., Mousivand, F. and Lentz, D.R., 2021a. Chemical composition of magnetite and chlorite from the stringer zone of the Nudeh VMS deposit, Iran: geological implications. *Mineralogy and Petrology*, v. 115(2).
- Maghfouri, S., Hosseinzadeh, M.R., Lentz, D.R., Tajeddin, H.A., Movahednia, M. and Sharifi, A., 2021b. Nature of ore-forming fluids in the Mehdiabad world-class sub-seafloor replacement SEDEX-type Zn-Pb-Ba-(Cu-Ag) deposit, Iran; constraints from geochemistry, fluid inclusions, and O-C-Sr isotopes. *Journal of Asian Earth Sciences*, v. 207, p. 104-122.
- Mehrabi, B. and Ghasemi Siani, M., 2012. Intermediate sulfidation epithermal Pb-Zn-Cu (\pm Ag-Au) mineralization at Cheshmeh Hafez deposit, Semnan province. *Iran Journal Geological Society of India*, v. 80, p. 563-578.
- Mousivand, F., Rastad, E. and Emami, M.H., 2004. Bavanat copper deposit; a Besshi-type volcanogenic massive sulfide deposit in Iran. 22nd Annual Symposium of Geosciences, Geological Survey of Iran.
- Mousivand, F., Rastad, E., Meffre, S.M., Peter, J.M., Solomon, M. and Zaw, K., 2011. U-Pb geochronology and Pb isotope characteristics of the Chahgaz volcanogenic massive sulfide deposit, South of Iran. *International Geology Review*, v. 53(10), p. 1239-1262.
- Mousivand, F., Rastad, E., Emami, M.H., Peter, J.M. and Solomon, M., 2012. Bathurst-type Zn-Pb-Cu Volcanogenic Massive Sulfide Mineralization in the Chahgaz Area, South of Shahre Babak, South Sanandaj-Sirjan Zone, Geological Survey of Iran, v. 82, p. 151-162.
- Mousivand, F., Rastad, E., Hoshino, K. and Watanabe, M., 2007. The Bavanat Cu-Zn-Ag orebody: frist recognition of a Besshi-type VMS deposit in Iran, *Neues Jahrbuch für Mineralogie Abhandlungen*, v. 183(3), p. 296-315.
- Monecke, T., Gemmeli, J. and Herzog, P., 2006. Geology and Volcanic Facies Architecture of the Lower Ordovician Waterloo Massive Sulfide Deposit, Australia, *Economic Geology*, v. 101, p. 179-197.
- Niroomand, S., Hassanzadeh, J., Tajeddin, H.A. and Asadi, S., 2018. Hydrothermal evolution and isotope studies of the Baghu intrusion-related gold deposit, Semnan province, north-central Iran. *Ore Geology Reviews*, v. 95, p. 1028-1048.
- Shafaii Moghadam, H., Khademi, M., Hu, Z., Stern, R.J., Santos, J.F. and Wu, Y., 2015. Cadomian (Ediacaran-Cambrian) arc magmatism in the ChahJam- Biarjmand metamorphic complex (Iran): Magmatism along the northern active margin of Gondwana. *Gondwana Research*, v. 27, p. 439-452.

- Shamanian, G.H., Hedenquist, J.W., Hattori, K.H. and Hassanzadeh, J., 2004. The Gandy and Abolhassani epithermal prospects in the Alborz magmatic arc, Semnan province, northern Iran. *Econ. Geol.*, v. 99, p. 691-712.
- Solomon, M., 2008. Brine pool deposition for the Zn-Pb-Cu massive sulphide deposits of the Bathurst mining camp, New Brunswick, Canada. I. Comparisons with the Iberian pyrite belt. *Ore Geology Reviews*, v. 33(3–4), p. 329-351.
- Pirajno, F., 2009. Hydrothermal Processes and Mineral Systems. Springer, Berlin, Germany, 250 p.
- TaleFazel, E., Mehrabi, B. and GhasemiSiani, M., 2019. Epithermal systems of the Torud-Chah Shirin district, northern Iran: Ore fluid evolution and geodynamic setting. *Ore Geology Reviews*, v. 109, p. 253-275.
- Rastad, E., Monazami miralipour, A. and Momenzadeh, M., 2012. Sheikh-Ali copper deposit, A Cyprus-type VMS deposit in southeast Iran. *Journal of Sciences, Islamic Republic of Iran*, v. 13(1), p. 51-63.
- Wilkinson, J., 2001. "Fluid inclusions in hydrothermal ore deposits". *Lithos*, v. 55(1), p. 229-272.
- Yarmohammadi, A., Rastad, E., Mousivand, F. and Watanabe, M., 2008. Barika Au-Ag-(ZnPb-Cu) deposit: First recognition of gold-rich Kuroko-type VMS mineralization in Iran. 33rd International Geological Congress, Geological Survey of Norway, Oslo, Norway.
- Zheng, Y., Zhang, L., Chen, Y., Hollings, P. and Chen, H., 2013. Metamorphosed Pb-Zn- (Ag) ores of the Keketale VMS deposit, NW China: Evidence from ore textures, fluid inclusions, geochronology and pyrite compositions. *Ore Geology Reviews*, v 54, p. 167-180.